

شیوه‌سازی عددی انتقال حرارت مزدوج نانو سیال در میکروکانال دوبعدی تحت تأثیر میدان مغناطیسی عرضی: تأثیر قطر نانوذره عدد رینولدز و اتلاف لرج

فاطمه بشارati^۱ و امید جهانیان^۲

دانشکده مهندسی مکانیک

دانشگاه صنعتی نوشیروانی بابل

(تاریخ دریافت: ۱۳۹۸/۰۸/۱۳؛ تاریخ پذیرش: ۱۳۹۹/۰۴/۰۸)

چکیده

در مقاله حاضر اثر اتلاف لرج بر روی جریان و انتقال حرارت مزدوج نانو سیال آب - آلمینا در یک میکروکانال دوبعدی که تحت تأثیر میدان مغناطیسی یکنواخت قرار دارد، با استفاده از روش شبکه بولتزمن تراکم‌ناپذیر بررسی می‌شود. دیوار بالایی میکروکانال عایق است و شار حرارتی ثابت به دیوار پایینی در منطقه جامد اعمال می‌شود. این مسئله در اعداد رینولدز ۵۰، ۷۵ و ۱۰۰، نانو سیال با کسر حجمی٪۰/۲، قطر نانوذرات ۱۰ تا ۵۰ نانومتر و اعداد هارتمن ۰ تا ۳۰ بررسی شده است. نتایج نشان دادند، در شرایط صرف‌نظر کردن از اتلاف لرج، استفاده از میدان مغناطیسی در انتقال حرارت مزدوج، نه تنها تأثیر منفی بر عدد ناسلت میانگین ندارد، بلکه می‌تواند آن را بهویژه در اعداد رینولدز بالاتر افزایش دهد. همچنین می‌توان ذکر کرد که عدد ناسلت میانگین در حالت در نظر نگرفتن اثر اتلاف لرج بیشتر از حالت اعمال ترم اتلاف لرج است به طوری که بیشترین مقدار عدد ناسلت در این حالت، در عدد رینولدز ۱۰۰ و عدد هارتمن ۳۰ مشاهده می‌شود.

واژه‌های کلیدی: روش شبکه بولتزمن، انتقال حرارت مزدوج، نانو سیال، میدان مغناطیسی، اتلاف لرج

Numerical Simulation of Nanofluid Conjugate Heat Transfer in 2D Microchannel under the Influence of a Transverse Magnetic Field: Nanoparticle Diameter, Reynolds Number and Viscous Dissipation Effects

F. Besharati and O. Jahanian

Faculty of Mechanical Engineering,

Babol University of Technology

(Received: 04/November/2019 ; Accepted: 28/June/2020)

ABSTRACT

In the present study, the effect of viscous dissipation on the flow and conjugate heat transfer of water-alumina nanofluid in a two-dimensional microchannel under the influence of a magnetic field is investigated, using the incompressible lattice Boltzmann method. The upper wall of the microchannel is insulated and uniform heat flux is imposed on the lower wall of the solid region. The investigation has been carried out at Reynolds numbers of 50, 75 and 100, for a nanofluid with 2% volume fraction. The nanoparticle diameters varied from 10 to 50 nm and variable Hartmann numbers ranging from 0 to 30 were considered. The results showed that in the case of ignoring viscous dissipations, using a magnetic field in conjugate heat transfer does not have a significant negative effect on the average Nusselt number, and despite the usual expectation, can increase the Nusselt number, especially at higher Reynolds numbers. It is also noted that the average Nusselt number when ignoring the viscous dissipations, is higher than when these dissipations are taken into account. Hence, the highest Nusselt number in this case, is observed at Reynolds and Hartmann number values of 100 and 30, respectively.

Keywords: Lattice Boltzmann method, Conjugate Heat Transfer, Nanofluid, Magnetic Field, Viscous Dissipations.

۱- دانشجوی کارشناسی ارشد: ftm.bsh73@gmail.com

۲- دانشیار (نویسنده پاسخگو): jahanian@nit.ac.ir

فهرست علائم و اختصارات		
θ	دماهی بی بعد در محاسبات مربوط به کد نوشته شده	
	علائم یونانی	
γ	پارامتر تنظیم پذیر	a
μ	ضریب لزجت، $\text{Pa} \cdot \text{s}$	B
ν	لزجت سینماتیکی، $\frac{\text{m}^2}{\text{s}}$	B_0
π	عدد پی	Br_q
ρ	جرم مخصوص، $\frac{\text{kg}}{\text{m}^3}$	\vec{c}
τ	زمان آسایش در واحد شبکه	C_p
τ_f	زمان آسایش تابع توزیع جرم مخصوص در واحد شبکه	d
τ_g	زمان آسایش تابع توزیع دماهی بی بعد در واحد شبکه	f
ϕ	کسر حجمی	g
W	ضرایب وزنی	Gr^{-1}
Ω	اوپراتور برخورد	Ha
	زیرنویس	H_c
avg	میانگین	H_s
f	سیال پایه	k
in	ورودی میکروکانال	k_B
k	شمارنده جهت لینکهای شبکه	L
m	شمارنده گره آخر در جهت افقی	M
n	شمارنده گره آخر در جهت عمودی	N
nf	نانوسیال	Nu
p	نانوذرات	Pr
w	دیوار	q"
	بالانویس	Re
eq	تعادلی	Re_s
*	بی بعد	S
- مقدمه -		
در سال های اخیر میکروسیستمها به علت کوچک بودن و همچنین عملکرد بهتر، کاربردهای مختلفی در زمینه های گوناگون مهندسی پزشکی، زیست شناسی، صنایع الکترونیک، میکروسنسورها، میکروپیمپ ها، شتاب سنج ها و ... پیدا کرده اند [۱ و ۲]. اما از طرفی کاهش اندازه، خصوصاً در میکروسیستم هایی که کار پردازش داده انجام می دهند، سبب افزایش موضعی شار حرارتی تولید شده در آن ها می شود که این شار گاهی به بیش از $100 \frac{\text{w}}{\text{cm}^2}$ نیز می رسد [۳] در نتیجه سامانه های خنک کاری استاندارد مثل خنک کاری با هوا توان دفع این میزان شار حرارتی بالا را ندارند و باید از روش های دیگری استفاده نمود که در این		
	شتاب	
	ضریب لغزش بی بعد	
	شدت میدان مغناطیسی	
	عدد برینکمن اصلاح شده	
	بردار سرعت میکروسکوپیک، در واحد شبکه	
	ظرفیت گرمایی ویژه، $\frac{\text{J}}{\text{kg} \cdot \text{K}}$	
	قطر، m	
	تابع توزیع جرم مخصوص، در واحد شبکه	
	تابع توزیع دماهی بی بعد	
	معکوس عدد گراتز	
	عدد بی بعد هارتمن	
	ارتفاع سیال در میکروکانال، m	
	ضخامت جامد در میکروکانال، m	
	ضریب هدایت حرارتی، $\frac{\text{w}}{\text{m} \cdot \text{K}}$	
	ثابت بولتزمن، $\frac{\text{J}}{\text{K}}$	
	طول میکروکانال، m	
	جرم مولکولی، $\frac{\text{kg}}{\text{kmol}}$	
	عدد آوگادرو، $\frac{\text{molcule}}{\text{mol}}$	
	عدد ناسلت	
	عدد پرانتل	
	شار حرارتی وارد به صفحه پایین، $\frac{\text{w}}{\text{m}^2}$	
	عدد رینولدز	
	عدد رینولدز ویژه	
	ترم چشممه	
	زمان در واحد شبکه	
	دما، K	
	مؤلفه افقی سرعت، $\frac{\text{m}}{\text{s}}$	
	بردار سرعت ماکروسکوپیک، $\frac{\text{m}}{\text{s}}$	
	ضریب پخش گرمایی، در واحد شبکه $\frac{\text{m}^2}{\text{s}}$	

ديگري همت و همكاران [۱۳] اثر قطر نانوذره آلومينا بر جريان و انتقال حرارت جابه‌جايی اجباري بين دو صفحه موازي را بررسى کردند. در مطالعه آنها ديوارهای کanal دما ثابت فرض شده است. آنها در مطالعه خود لرجت مؤثر و هدایت حرارتی نانوسيال را متغير در نظر گرفتند. نتایج مطالعه آنها نشان داد که استفاده از نانوسيال می‌تواند انتقال حرارت را تا ۳۵٪ افزایش دهد. همچنان کاهش قطر نانوذرات می‌تواند انتقال حرارت را تا ۹٪ افزایش دهد. فريدينون و همكاران [۱۴] اثر اندازه و كسر حجمی نانوسيال آب-آلومينا در يك حفره مربعی را بر جريان سیال و انتقال حرارت جابه‌جايی ترکيبي بررسی کردند. در مطالعه آنها لرجت ديناميکي و ضريب هدایت حرارتی نانوسيال وابسته به دما در نظر گرفته شده است. آنها نشان دادند که در يك رينولدر ثابت با افزایش كسر حجمی نانوذره، نرخ انتقال حرارت افزایش می‌يابد. همچنان در يك كسر حجمی ثابت، با افزایش عدد ريقاردسون و رينولدر عدد ناسلت افزایش می‌يابد و در اعداد رينولدر کم، كسر حجمی نانوذره تأثير چندانی بر جريان و انتقال حرارت ندارد. همت و همكاران [۱۵] جريان و انتقال حرارت نانوسيال آب-آلومينا درون يك حفره مربعی را مطالعه کردند. آنها تأثير كسر حجمی و قطر ميانگين نانوذره و عدد رايلى را با استفاده از مدل‌های مختلف برای لرجت نانوسيال از جمله مدل برینكمون، ابو-ناد، خانافر، وفای و کورچيونه بر جريان و انتقال حرارت بررسی کردند. طبق نتایج کار آنها، در همه كسر حجمی‌ها و هر دو عدد رايلى مورد مطالعه، مدل برینكمون عدد ناسلت متوسط را بيشتر تخمين می‌زند و همچنان در همه كسر حجمی‌ها با افزایش قطر ميانگين نانوذرات، عدد ناسلت ميانگين در مدل‌های خانافر، وفای و کورچيونه افزایش و در مدل برینكمون کاهش می‌يابد. همت و همكاران [۱۶] جريان و انتقال حرارت نانوسيال آب-DWCNT درون يك حفره مربعی که دارای سه منبع گرم مدور است را مطالعه کردند. آنها در مطالعه خود اثر پارامترهای مهمی مانند عدد ريقاردسون، زاویه شیب، كسر حجمی نانوذره و نسبت هندسی را بررسی کردند. نتایج کار آنها نشان داد که با افزایش عدد ريقاردسون، عدد ناسلت کاهش می‌يابد. همچنان در يك كسر حجمی ثابت، در نسبت منظري ۰/۰۵ و ۰/۰۱ و عدد ريقاردسون ۱، با افزایش زاویه شیب از ۰ به ۳۰ درجه عدد ناسلت متوسط افزایش می‌يابد. سالاري و

بين برای رفع اين مشكل، توجهات بسياري به خنك‌کاري با استفاده از مایع در ميكروکانال‌ها معطوف شده است [۴ و ۵]. تاکرمن و پيس [۶] اولين کسانی بودند که به صورت تجربی ميكروکانال‌هایي با مقطع مستطيلي را مورد مطالعه قرار دادند و به دفع حرارت به ميزان $\frac{W}{cm^2}$ ۷۹۰ دست یافتند. همچنان بهمنظور افزایش نرخ انتقال حرارت در چنین سامانه‌هایي، در طی دو دهه اخير استفاده از نانوسيالات که محلول‌های مایع حاوی ذرات جامد پراكنده در آن، با ابعاد (۱- ۱۰۰ nm) هستند، توسعه پیدا کرده است [۷ و ۸]. همت و همكاران [۹] جريان و انتقال حرارت جابه‌جايی ترکيبي نانوسيال را در يك حفره با دو درب متحرک بررسی کردند. نتایج مطالعه آنها نشان داد که وقتی دربهای متحرک دارای اثر مقابل هستند، خطوط جريان شامل دو گردا به اصلی هستند که با افزایش عدد ريقاردسون، شدت گردا به مربوط به نيري شناوري افزایش می‌يابد، و شدت گردا به دیگر کاهش می‌يابد. همچنان در شرایطي که متحرک دارای اثر کمک‌کننده هستند، با افزایش نيري شناوري قدرت خطوط جريان شامل يكی از گردا بههای اصلی افزایش يافته و نرخ انتقال حرارت در اين شرایطي بيشتر از حالت‌های دیگر است. همت و همكاران [۱۰] تأثير كسر حجمی و عدد ريقاردسون بر جريان و انتقال حرارت جابه‌جايی ترکيبي نانوسيال آب-آلومينا درون يك حفره که دارای يك مانع مستطيلي داغ است را بررسی کردند. آنها در مطالعه خود لرجت و هدایت حرارتی نانوسيال را وابسته به دما فرض کردند. نتایج کار آنها نشان می‌دهد که در همه كسر حجمی‌ها افزایش عدد ريقاردسون و قطر نانوذرات، عدد ناسلت را کاهش می‌دهد. همچنان افزودن نانوذره باعث افزایش قابل توجه در نرخ انتقال حرارت می‌شود. سرافراز و همكاران [۱۱] عملکرد حرارتی يك مخزن حرارتی دارای يك ميكروکانال مستطيلي را در رژيم جريان آرام بررسی کردند. آنها در مطالعه خود از نانوسيال آب-نقره استفاده کردند. طبق نتایج آنها، استفاده از نانوسيال، ضريب انتقال حرارت را افزایش می‌دهد. همت و همكاران [۱۲] جابه‌جايی ترکيبي نانوسيال آب-آلومينا را در يك کanal افقی که دو مانع داغ بر روی دیوار پاين آن قرار دارد در رژيم جريان آرام بررسی کردند. آنها نشان دادند که با افزایش غلظت نانوذره از ۰ به ۵٪، عدد ناسلت متوسط روی موائع، کمتر از ۱۰٪ افزایش می‌يابد. در تلاش عددی

مغناطیسی، اختلاف پتانسیل و هدایت الکتریکی کنترل کرد. امین‌الساداتی و همکاران [۲۹] اثر میدان مغناطیسی بر انتقال حرارت نانوسیال آب-آلومینا را در یک میکروکanal بررسی کردند. مطالعات آن‌ها نشان داد که با افزایش کسر حجمی نانوذرات در اعداد رینولذ و هارتمن بزرگ، عدد ناسلت افزایش می‌یابد. طبق مطالعات آن‌ها افزایش ۱۶ درصدی در عدد ناسلت گزارش شده است. آقایی و همکاران [۳۰] اثر میدان مغناطیسی بر جریان و انتقال حرارت جابه‌جایی طبیعی نانوسیال آب-اکسید مس درون یک محفظه ذوزنقه‌ای را در رژیم جریان آرام و آشفته بررسی کردند. در مطالعه آن‌ها اثر حرکت براونی نانوذره نیز بررسی شد. نتایج کار آن‌ها نشان داد که در هر دو رژیم آرام و آشفته، با افزایش کسر حجمی و عدد رایلی عدد ناسلت متوسط افزایش می‌یابد. همچنین در همه اعداد رایلی و کسر حجمی‌ها با افزایش عدد هارتمن عدد ناسلت متوسط کاهش می‌یابد. در تلاش عددی دیگری، عبدالله‌زاده و پارک [۳۱] اثرات اتفاف لزج، گرمای ژول و تابش حرارتی را بر انتقال حرارت جابه‌جایی اجباری مایعات نیوتونی در یک میکروپیمپ مغناطیسی بررسی کردند. آن‌ها دریافتند که اثر اتفاف لزج سبب افزایش دما در نزدیکی دیوار می‌شود و حرارت ژول، اندازه پروفیل دما را در منطقه مرکزی افزایش می‌دهد. باید اشاره کرد که برای شبیه‌سازی جریان و انتقال حرارت مایع در میکروکanal‌ها، برخی از پدیده‌ها که در میکروکanal‌ها مهم نیستند، به دلیل مقیاس‌های کوچک میکروکanal‌ها باید مورد توجه قرار گیرند. مهم‌ترین آن‌ها عبارتند از: ضخامت دیوار، لغزش سرعت و در بعضی موارد اتفاف لزج. ضخامت دیوار جامد در میکروکanal‌ها اغلب با ارتفاع میکروکanal قابل مقایسه است [۳۲]. بنابراین مطالعه انتقال حرارت در برخی از میکروکanal‌ها با دیوارهای فلزی، بدون در نظر گرفتن هدایت محوری، با مطالعات تجربی تفاوت محسوسی داشته است [۳۳]. در نتیجه، پدیده انتقال حرارت باید به صورت مزدوج در نظر گرفته شود. به عنوان مثال، کول و اتنین [۳۴] با روش توابع گرین، انتقال حرارت مزدوج جریان مایع را در یک میکروکanal با صفحات موازی بررسی کردند. در یک مطالعه عددی، آزاد و همکاران [۳۵] از روش المان محدود برای مطالعه اثرات میدان مغناطیسی و حرارت ژول در انتقال حرارت مزدوج در یک کanal طولانی با یک سوراخ در پایین کanal، استفاده کردند. آن‌ها دریافتند

همکاران [۱۷] جریان و انتقال حرارت جابه‌جایی طبیعی و تولید آنتروپی درون یک محفظه مکعبی که از طرفین گرم می‌شود را بررسی کردند. محفظه مکعبی توسط دو سیال مخلوط‌نشدنی هوا و نانوسیال آب-MWCNT پر شده است. در این مطالعه اثر پارامترهای مختلف نسبت منظری سطح نانوسیال، کسر حجمی نانوذره و عدد رایلی بر جریان سیال، انتقال حرارت و تولید آنتروپی بررسی شده است. نتایج مطالعه آن‌ها نشان داد که با افزایش نسبت منظری سطح نانوسیال عدد ناسلت متوسط و تولید آنتروپی کاهش می‌یابد در حالی که افزایش عدد رایلی آن‌ها را کاهش می‌دهد. در تلاش عددی دیگری همت و همکاران [۱۸] داده‌های تجربی مربوط به عدد ناسلت متوسط و افت فشار نانوسیال آب-تیتانیوم را با استفاده از شبکه عصبی مصنوعی شامل دو لایه پنهان و ۸ نورون در هر لایه مدل‌سازی کردند. نتایج این مطالعه نشان داد که مدل‌سازی شبکه عصبی مصنوعی توانسته است داده‌های تجربی را با دقت بالایی تخمین بزند. همچنین با افزایش عدد رینولذ و کسر حجمی نانوذرات، عدد ناسلت متوسط و افت فشار افزایش می‌یابند. برای نشان دادن کاربرد نانوسیال‌ها، پژوهش‌های بسیاری توسط محققین مانند [۲۳-۱۹] انجام شده است. همچنین یکی دیگر از روش‌های پیشنهادی برای بهبود نرخ انتقال حرارت در میکروکanal‌های حاوی سیالات هادی الکتریسیته، استفاده از میدان مغناطیسی، که نیرویی در خلاف جهت جریان ایجاد می‌کند، می‌باشد [۲۴]. محمد و همکاران [۲۵] مطالعه جامعی را بر تأثیر میدان مغناطیسی در افزایش نرخ انتقال حرارت انجام دادند. ساودا و همکاران [۲۶] به صورت تجربی نشان دادند که ضربه مقاومت جریان در یک کanal با صفحات موازی، مستقیماً با طول و مقاومت میدان مغناطیسی اعمال شده متناسب است. کلته و عابدین‌زاده [۲۷] تأثیر میدان مغناطیسی را بر جریان و انتقال حرارت اجباری نانوسیال آب-آلومینا در یک میکروکanal با شرایط مرزی دما ثابت بررسی کردند. لازم به ذکر است که طبق دو مقاله اخیر [۲۴ و ۲۵]، بیشتر محققان اثر میدان مغناطیسی را بر هندسه محدودی مطالعه کردند. دواری و عبدالله [۲۸] به صورت تحلیلی و عددی جریان و انتقال حرارت مایع کاملاً توسعه یافته گذرا را در یک میکروپیمپ هیدرودینامیک مغناطیسی مطالعه کردند. آن‌ها دریافتند که می‌توان جریان و دما را با کنترل شار

آنها مشاهده کردند که در سطح مشترک مایع-جامد دما و همچنین شار حرارتی پیوسته هستند. صدیق و همکاران [۵۰] یک الگوریتم برای مدل‌سازی انتقال حرارت مزدوج، در سطح مشترک دو ماده مختلف ارائه کردند. مدل توسعه‌یافته گرچه پیچیده‌تر است و هزینه محاسباتی آن نسبت به الگوریتم‌های موجود بالاتر است، اما به شرایط پایدار محدود نمی‌شود. علاوه بر این، برخی از الگوریتم‌های دیگر روش شبکه بولتزمن برای مدل‌سازی انتقال حرارت مزدوج در [۵۱-۵۳] بیان شده است. در رویکرد عددی دیگری با استفاده از روش شبکه بولتزمن، تاچرچی و امیرالدین [۵۴] ویژگی‌های جريان و انتقال حرارت را با در نظر گرفتن اثر حرارت ژول در یک ميكروپمپ DC MHD بررسی کردند. آنها نشان دادند که راه حل عددی روش شبکه بولتزمن با نتایج تجربی و روش‌های دینامیک سیال محاسباتی کلاسیک مناسب است. با این حال، بررسی دقیق اتلاف لزج و حرارت ژول در مطالعه جريان نانوسيال در ميكروکانال‌ها در عدد رینولدزهای متوسط و یا زياد بسیار مهم است. در این راستا، موريینی [۵۵] معیار بررسی اثر اتلاف لزج مایعات در ميكروکانال را ارائه کرد. او توجه خود را بر شکل مقطع کانال و نیز کمترین عدد رینولدز قرار داد که تحت اين شرایط، اتلاف لزج نباید نادیده گرفته شود. هانگ [۵۶] بهصورت تحلیلی اثر اتلاف لزج را بر انتقال حرارت نانوسيال آب-آلومینا با کسر حجمی ذرات جامد مختلف در یک ميكروولوه مورد بررسی قرار داد. ميكروولوه تحت شرایط شار حرارتی ثابت بود و جريان در منطقه کاملاً توسعه‌یافته قرار داشت.

با توجه به مرور بر ادبیات فوق، مسئله انتقال حرارت مزدوج نانوسيال در حضور میدان مغناطیسی یکنواخت و در نظر گرفتن اثر اتلاف لزجت در ميكروکانال، با استفاده از روش شبکه بولتزمن تاکنون مورد مطالعه قرار نگرفته است. به همین دلیل در کار پیش رو مشخصه‌های جريان و انتقال حرارت مزدوج نانوسيال آب-آلومینا در یک ميكروکانال که تحت تأثیر میدان مغناطیسی یکنواخت و در پایین شار حرارتی ثابت قرار دارد و در بالا عایق است در شرایط عدم لغش سرعت بهصورت عددی با استفاده از روش شبکه بولتزمن مورد بررسی قرار می‌گيرد تا مطالعه شود که اعمال میدان مغناطیسی در شرط مرزی شار ثابت همراه با در نظر گرفتن اثر اتلاف لزج، چه تأثیری بر عدد ناسلت خواهد

که عدد هارتمن و پارامتر گرمای ژول نقش مهمی در کنترل ساز و کار انتقال حرارت بازی می‌کنند. از منظر روش‌های حل جريان سیال و انتقال حرارت نیز، در طی دو دهه اخیر، روش شبکه بولتزمن که در زمرة روش‌های مزوسکوپیک قرار دارد [۳۶]، بهدلیل قابلیت‌هایی مانند: سهولت در برنامه‌نویسی، صریح بودن (که قابلیت پردازش موازی را بهطور طبیعی دارا می‌باشد)، حجم محاسباتی کمتر نسبت به سایر روش‌های بر پایه ذره نظیر روش مستقیم مونت‌کارلو، عدم نیاز به حل معادله لاپلاس در هر گام زمانی (برخلاف معادله ناویر-استوکس)، توانایی استفاده در مسائل در مقیاس ميكرو و ماکرو با دقت قابل قبول و صادق بودن در محدوده وسیعی از جريان پیوسته و ناپیوسته [۳۷].

ساده‌سازی در شبیه‌سازی جريان نانوسيال و اجرای ساده ضریب هدایت حرارتی نانوسيال (خصوصاً در حالت متغیر بودن با دما) [۳۸] ... مورد توجه بسیاری از محققین بوده است. همچنین استفاده از روش شبکه بولتزمن به عنوان یک ابزار محاسباتی برای مقابله با پدیده‌های مختلف فيزيکي در زمينه مكانيك سيالات و مهندسي شيمی مانند جريان مایع و انتقال حرارت در رسانه‌های متخلخل [۳۹]، جداسازی ذرات ميكرو و نانوذرات [۴۰-۴۳]، انتقال حرارت طبیعی و ترکیبی [۴۴]، شبیه‌سازی جريان‌های دوفاز [۴۵] و جريان در ميكروکانال‌ها [۴۶ و ۴۷] تبدیل شده است. كريمي پور و همکاران [۴۸] جريان و انتقال حرارت جابه‌جايی ترکيبي نانوسيال آب-مس در یک حفره کم عمق و در رژيم جريان آرام را با استفاده از روش شبکه بولتزمن بررسی کردند. در مطالعه آنها درب فوقاني حفره با سرعت ثابت حرکت می‌کند و درجه حرارت آن بالاتر از دیواره پایین است. همچنین دیوارهای جانبی آديباباتیک هستند. آنها در مطالعه خود اثر مقادیر مختلف زاویه شب حفره و کسر حجمی نانوذرات را در سه حالت مختلف جابه‌جايی طبیعی، اجباری و ترکيبي بررسی کردند. نتایج آنها نشان داد که بيشترین مقدار عدد ناسلت متوسط در زاویه شب حفره و کسر حجمی بزرگ‌تر دیده می‌شود. منگ و همکاران [۴۹] یک الگوریتم جديد برای شبیه‌سازی انتقال حرارت مزدوج در شرایط پایا با استفاده از روش شبکه بولتزمن، بر اساس رویکرد انرژي حرارتی ارائه کردند. در روش آنها، مرزهای فيزيکي با گره‌های محاسباتی سازگار هستند. علاوه بر اين،

۱-۲- مدل سازی نانوسیال

نانوسیال مورداستفاده در این پژوهش، آب-آلومینا بوده و به صورت مدل سیال تکفار، با فرض یکنواخت بودن پخش نانوذرات در سیال پایه و کروی بودن نانوذرات، فرمول بندی می‌شود.

برای محاسبه چگالی و ظرفیت گرمایی ویژه نانوسیال، از مدل مخلوط دوجزئی، که به طور متداول در شبیه‌سازی رفتار نانوسیال‌ها مورد استفاده قرار می‌گیرد، بهره گرفته می‌شود [۵۷].

$$\rho_{nf} = (1 - \varphi_p)\rho_f + \varphi_p\rho_p \quad (1)$$

$$(\rho C_p)_{nf} = (1 - \varphi_p)(\rho C_p)_f + \varphi_p(\rho C_p)_p \quad (2)$$

برای محاسبه لزجت نانوسیال از مدل ارائه شده توسط کورچیونه [۵۸] استفاده می‌شود که علاوه بر کسر حجمی نانوذرات، اثر قطر نانوذرات را هم در نظر می‌گیرد.

$$\mu_{nf} = \frac{1}{1 - 34 \cdot 8 \left(\frac{d_p}{d_f} \right)^{-0.3} \varphi_p^{1.03}} \quad (3)$$

که در آن d_p قطر نانوذرات و d_f قطر معادل مولکول‌های سیال پایه بوده و از رابطه زیر به دست می‌آید:

$$d_f = 0 \cdot 1 \left[\frac{6M}{N\pi\rho_{f_0}} \right]^{\frac{1}{3}} \quad (4)$$

که در آن M جرم مولکولی سیال پایه ($\frac{\text{Kg}}{\text{Kmol}}$) و N عدد آوگادرو ($6 \cdot 0 \cdot 23 \times 10^{23}$ $\frac{\text{molcul}}{\text{mol}}$) است. همچنین ρ_{f_0} جرم مخصوص سیال پایه در دمای K است.

لازم به ذکر است که عدد رینولدز از رابطه زیر محاسبه می‌شود:

$$Re = \frac{u_{in} H}{v_{nf}} \quad (5)$$

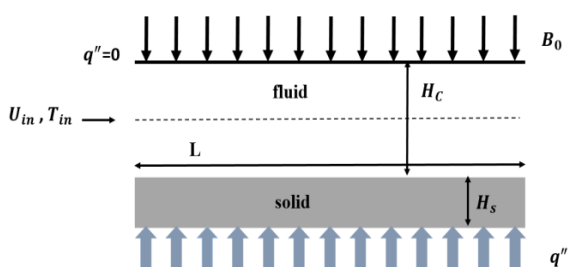
برای محاسبه ضریب هدایت حرارتی از معادله‌ای که توسط چون و همکاران [۵۹] پیشنهاد شده و اثر حرکت براونی و قطر نانوذرات را بر ضریب هدایت حرارتی در نظر می‌گیرد، استفاده می‌شود.

$$\frac{k_{nf}}{k_f} = 1 + 0 \cdot 64 \varphi_p^{0.746} \left(\frac{d_f}{d_p} \right)^{0.369} \times \left(\frac{k_p}{k_f} \right)^{0.7476} \times Pr_f^{0.9955} Re_s^{1.2321} \quad (6)$$

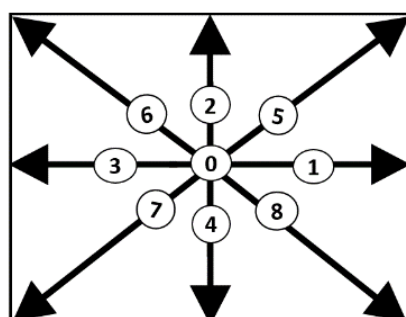
داشت. همچنین در کار حاضر اثر قطر نانوذره در مدل ارائه شده برای محاسبه لزجت لحاظ می‌گردد و نیز بررسی عدد ناسلت و تنش برشی میانگین در دیواره، در قطرهای ۱۰ تا ۵۰ nm از نانوذره، مد نظر قرار داده شده است.

۲- روش حل و هندسه مورد مطالعه

در کار حاضر، اثر تلفات لزجت بر جریان و انتقال حرارت مزدوج نانوسیال آب-آلومینا (Al_2O_3) در یک میکروکانال با صفحات موازی و تحت تأثیر میدان مغناطیسی یکنواخت در شرایط عدم لغزش بررسی می‌شود. نانوسیال نیوتونی و تراکم‌ناپذیر فرض شده است و مطالعه در جریان آرام و پایا صورت می‌پذیرد. هندسه مسئله و شرایط مرزی در شکل ۱ نشان داده شده‌اند. دیوار پایینی میکروکانال تحت شارحرارتی ثابت kW/m^2 ۲۵۰ قرار دارد و دیوار بالایی عایق است و تحت میدان مغناطیسی B_0 قرار دارد. در ورودی میکروکانال نانوسیال مورد نظر با سرعت یکنواخت U_{in} و دمای K T_{in} (۲۹۸/۱۵) وارد شده و پس از تبادل حرارت با میکروکانال در حالت توسعه یافتنی هیدرودینامیکی میکروکانال را ترک می‌کند. ارتفاع ناحیه سیال (H_c)، طول کanal (L) و ضخامت دیواره جامد (H_s) به ترتیب برابر با $6/66 \mu m$ ، $20 \mu m$ و $600 \mu m$ می‌باشند.



شکل(۱): هندسه مورد بررسی در تحقیق حاضر



شکل(۲): نمایش مدل $D_2 Q_9$ استفاده شده در کار حاضر

$$Ha^2 = \frac{B_0^2 \sigma_{nf}}{\nu_{nf}} H_c^2 \quad (14)$$

در رابطه بالا σ_{nf} هدایت الکتریکی نانوسيال و Ha عدد هارتمن و B_0 شدت میدان الکتریکی است.

همچنین تابع توزیع تعادلی برای جرم مخصوص برابر است با [۶۳]:

$$f_k^{eq} = w_K \left[\rho + \rho_0 \left(\frac{C_k \cdot \vec{V}}{C_s^2} + \frac{1}{2\gamma} \left(\frac{C_k \cdot \vec{V}}{C_s^2} \right)^2 \times \frac{\vec{V} \cdot \vec{V}}{2C_s^2} \right) \right] \quad (15)$$

ضرایب وزنی w_k هم به صورت زیر در نظر گرفته می‌شوند:

$$w_k = \begin{cases} \frac{1}{4} & k = 0 \\ \frac{1}{9} & k = 1 - 4 \\ \frac{1}{36} & k = 5 - 8 \end{cases} \quad (16)$$

شکل کلی معادله بولتزمن برای تابع توزیع دما با حضور عبارت چشمی به صورت زیر است [۶۴]:

$$\frac{g_k(r + \Delta r, t + \Delta t) - g_k(r, t)}{\Delta t} = -\frac{1}{\tau_g} \times [g_k(r, t) - g_k^{eq}(r, t)] + S_k \quad (17)$$

$$S_k = w_k \left[1 + \frac{(C_k \cdot \vec{V})}{C_s^2} \left(\frac{\tau_{g-0.5\Delta t}}{\tau_g} \right) \right] S \quad (18)$$

که در رابطه بالا S_k عبارت چشمی در طول شبکه و S ترم ناشی از اثر اتلاف لزج است.

$$S = VD \quad (19)$$

$$VD = \frac{\mu_{nf}}{(\rho C_p)_{nf}} \left\{ 2 \left[\left(\frac{\partial u}{\partial x} \right)^2 + \left(\frac{\partial v}{\partial y} \right)^2 \right] \right\} + \left(\frac{\partial u}{\partial x} + \frac{\partial v}{\partial y} \right)^2 \quad (20)$$

در عبارت بالا VD نشان‌دهنده اتلاف لزج است و در [۵۲] به شکل فرمول بالا تعریف شده است.

رابطه ضریب نفوذ حرارتی با زمان آسایش و تابع توزیع تعادلی دما [۶۴] به ترتیب برابرند با:

$$\alpha = C_s^2 \left(\frac{\tau_g}{\Delta t} - 0.5 \right) \Delta t \quad (21)$$

$$g_k^{eq} = T w_K \left[1 + \left(\frac{C_k \cdot \vec{V}}{C_s^2} + \frac{1}{2} \left(\frac{C_k \cdot \vec{V}}{C_s^2} \right)^2 - \frac{\vec{V} \cdot \vec{V}}{2C_s^2} \right) \right] \quad (22)$$

که در آن Pr_f عدد پرانتل سیال پایه بوده و از رابطه زیر بدست می‌آید:

$$Pr_f = \frac{C_{pf} \mu_f}{k_f} \quad (7)$$

همچنین Re_s عدد رینولدز ویژه بوده که طبق رابطه زیر تعریف می‌شود:

$$Re_s = \frac{r_f K_B T}{3 \rho m_f^2 \lambda_f} \quad (8)$$

۲-۲- روش شبکه بولتزمن

در این مقاله برای حل عددی میدان سرعت، از روش شبکه بولتزمن از پیش تنظیم‌پذیر بر اساس روش شبکه تراکم‌ناپذیر (Incompressible Preconditioned LBM) و برای میدان دما، از شبکه بولتزمن استاندارد استفاده شده است. در روش شبکه بولتزمن، از توابع توزیع برای نمایش حرکت و برخورد ذرات استفاده می‌شود. توابع توزیع می‌توانند برای هر کمیت اسکالر مانند دما و توزیع اجزاء به کار برده شوند بنابراین شکل کلی معادله بولتزمن برای تابع توزیع جرم مخصوص، به صورت زیر است [۶۰]:

$$f_k(r + \Delta r, t + \Delta t) - f_k(r, t) = -\frac{\Delta t}{\tau_f} \times [f_k(r, t) - f_k^{eq}(r, t)] + \Delta t F_k \quad (9)$$

U و C_s که به ترتیب لزجت سینماتیکی و زمان آسایش تابع توزیع جرم مخصوص هستند و به صورت زیر محاسبه می‌شوند [۶۱]:

$$U = \gamma C_s^2 \left(\frac{\tau_f}{\Delta t} - 0.5 \right) \Delta t \quad (10)$$

$$C_s = \frac{\Delta x}{\sqrt{3}} \quad , \quad \vec{r} = x\vec{i} + y\vec{j} \quad (11)$$

عبارت چشمی در روش شبکه بولتزمن به صورت زیر است [۵۵]:

$$F_K = \frac{1}{\gamma^2} w_K \left(1 - \frac{\Delta t}{2\tau_f} \right) \left[\frac{C_k \cdot \vec{V}}{C_s^2} \left(\frac{C_k \cdot \vec{V}}{C_s^4} \right) C_k \right] \cdot \rho_0 \vec{a} \quad (12)$$

در این روابط γ پارامتر تنظیم‌پذیر است و برای افزایش سرعت همگرایی $1 < \gamma < 0$ است.

همچنین \vec{a} شتاب ناشی از میدان مغناطیسی است [۶۲]:

$$\vec{a} = ax\vec{i} + ay\vec{j} = -\frac{B_0^2 \sigma_{nf}}{\rho} \vec{i} + 0\vec{j}$$

$$\begin{aligned} f_5 &= \frac{(\rho_w + \rho_0 u_0) - (f_0 + f_2 + f_4)}{2} \\ &\quad - 0.5 \rho_0 a_x u_0 - (f_1 + f_8) \quad (29) \\ f_6 &= \frac{(\rho_w - \rho_0 u_0) - (f_0 + f_2 + f_4)}{2} \\ &\quad - 0.5 \rho_0 a_x u_0 - (f_3 + f_7) \end{aligned}$$

شرط مرزی در خط مرکزی کanal:

با توجه به تقارن هیدرودینامیکی و هندسی در خط مرکزی کanal، شرط مرزی تقارن به کار می‌رود (نصف دامنه حل می‌شود و بعد از حل میدان سرعت برای اینکه تقارن گرمایی وجود ندارد، دامنه حل شده میدان سرعت در قسمت پایین خط تقارن به قسمت بالا کمی می‌شود) [۲۵]:

$$\begin{cases} f_4 = f_2 \\ f_7 = f_6 \\ f_8 = f_5 \end{cases} \quad (30)$$

۲-۲-۲- شرایط مرزی گرمایی

شرط مرزی ورودی:

با توجه به اینکه دما در ورودی مشخص است مشابه آنچه در شرط مرزی ورودی سرعت بیان گردید توابع توزیع مجھول گرمایی محاسبه می‌شوند:

$$\begin{aligned} g_1 &= \frac{w_1}{w_1 + w_5 + w_8} [T_{in} - (g_0 + g_2 + g_3 \\ &\quad + g_4 + g_6 + g_7)] \\ g_5 &= \frac{w_5}{w_1 + w_5 + w_8} [T_{in} - (g_0 + g_2 + g_3 \\ &\quad + g_4 + g_6 + g_7)] \quad (31) \\ g_8 &= \frac{w_8}{w_1 + w_5 + w_8} [T_{in} - (g_0 + g_2 + g_3 \\ &\quad + g_4 + g_6 + g_7)] \end{aligned}$$

شرط مرزی خروجی:

برونیابی توابع توزیع مانند خروجی میدان سرعت است.

دیوار بالایی میکروکanal:

شرط مرزی عایق [۲۵]:

$$\begin{cases} g_{4,0} = g_{4,1} \\ g_{7,0} = g_{7,1} \\ g_{8,0} = g_{8,1} \end{cases} \quad (32)$$

دیوار پایین میکروکanal:

با استفاده از [۶۶] شرط مرزی شار حرارتی ثابت به صورت

زیر به کار می‌رود:

$$-k_{nf} \frac{\partial T}{\partial y} = q'' \quad (33)$$

با بی‌بعدسازی این معادله بر حسب پارامترهای بی‌بعد:

$$\frac{\partial \theta}{\partial Y^*} |_{Y^*=0} = \frac{k_f}{k_{nf}} \quad (34)$$

همچنین ارتباط بین کمیت‌های ماکروسکوپیک جرم مخصوص، سرعت و دما [۶۰ و ۶۳] با توابع توزیع به صورت زیر است:

$$\begin{cases} \rho = \sum_{k=0}^8 f_k \\ \rho_0 \vec{V} = \sum_{k=0}^8 C_k \cdot f_k + \frac{\Delta t}{2} \rho_0 \vec{a} \\ T = \sum_{k=0}^8 g_k \end{cases} \quad (23)$$

۱-۲-۲- شرایط مرزی سرعت

شرط مرزی ورودی:

با توجه به توضیحات [۲] و اینکه سرعت در ورودی معین است توابع توزیع مجھول و جرم مخصوص در ورودی، به صورت زیر محاسبه می‌شوند:

$$\begin{aligned} f_1 &= \frac{w_1}{(w_1 + w_5 + w_8)} [\rho_{in} - (f_0 + f_2 + f_3 + \\ &\quad f_4 + f_6 + f_7)] \\ f_5 &= \frac{w_5}{(w_1 + w_5 + w_8)} [\rho_{in} - (f_0 + f_2 + f_3 + \\ &\quad f_4 + f_6 + f_7)] \\ f_8 &= \frac{w_8}{(w_1 + w_5 + w_8)} [\rho_{in} - (f_0 + f_2 + f_3 + \\ &\quad f_4 + f_6 + f_7)] \quad (24) \end{aligned}$$

$$\begin{aligned} \rho_{in} &= U_{in} \rho_0 + f_0 + f_2 + f_4 + 2(f_3 + f_6 + f_7) \\ &\quad - \frac{\Delta t}{2} \rho_0 a_x U_{in} \quad (25) \end{aligned}$$

شرط مرزی خروجی:

برای محاسبه توابع توزیع مجھول در خروجی از برونیابی توابع توزیع [۲۵] استفاده می‌شود:

$$\begin{cases} f_{3,m} = 2f_{3,m-1} - f_{3,m-2} \\ f_{6,m} = 2f_{6,m-1} - f_{6,m-2} \\ f_{7,m} = 2f_{7,m-1} - f_{7,m-2} \end{cases} \quad (26)$$

در سطح مشترک جامد-سیال از شرط مرزی عدم لغزش سرعت استفاده شده است.

$$u|_{Y^*=0} \quad (27)$$

که در آن Y^* محور عمودی بی‌بعد است.

حال با استفاده از رابطه معرفی شده در [۶۵] جرم مخصوص و توابع توزیع مجھول در این مرز به دست می‌آید:

$$\rho_w = f_0 + f_1 + f_3 + 2(f_4 + f_7 + f_8) \quad (28)$$

$$f_2 = f_4$$

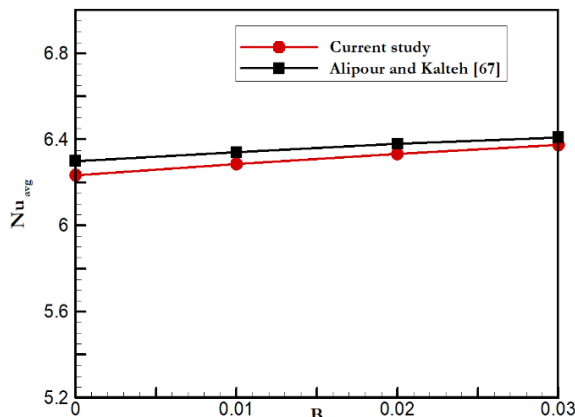
شبکه‌های مختلف نشان داده شده است. طبق جدول ۱، برای شبکه‌های 91×2100 و 104×2400 تغییری در عدد ناسلت دیده نشده است به همین دلیل شبکه 91×2100 انتخاب شده است.

جدول (۱): استقلال از شبکه

تعداد شبکه	عدد ناسلت میانگین
52×1200	۴/۶۷
65×1500	۴/۶۸
78×1800	۴/۶۷
91×2100	۴/۶۵
104×2400	۴/۶۵

۲-۳- صحبت‌سننجی نتایج

شکل ۳ عدد ناسلت میانگین کار حاضر را با عدد ناسلت میانگین کار انجام شده در [۶۷] در عدد رینولدز ۱۰، ضرایب لغزش ۰/۰۳ و در کسر حجمی ۰/۰۲ مقایسه می‌کند. هندسه مسئله [۶۷] میکروکانالی است که دیوار بالای آن عایق است و شار حرارتی ثابت به دیوار پایین آن اعمال شده و دیوار جامد آن از جنس سیلیکون می‌باشد. طبق شکل ۳، بیشترین اختلاف بین عدد ناسلت میانگین دو پژوهش انجام شده، ۱/۱٪ است.



شکل (۳): مقایسه بین عدد ناسلت میانگین در حالت انتقال حرارت مزدوج و کسر حجمی ۰/۲٪، در ضرایب لغزش ۰/۰۳ و عدد رینولدز ۱۰ با کار انجام شده در مرجع [۶۷]

با گسسته‌سازی این معادله:

$$\theta_0 = \theta_1 + \Delta Y^* \frac{k_f}{k_{nf}} \quad (35)$$

که در آن θ_0 دمای بی بعد نانوسيال روی دیواره و θ_1 دمای بی بعد در گره اول بعد از دیواره است.

مشابه آنچه در ورودی انجام شد:

$$g_2 = \frac{w_2}{(w_2 + w_5 + w_6)} [T_{nf} - (g_0 + g_1 + g_3 + g_4 + g_7 + g_8)] \times [1 - 1 \cdot 5u_n^2]] \quad (36)$$

$$g_5 = \frac{w_5}{(w_2 + w_5 + w_6)} [T_{nf} - (g_0 + g_1 + g_3 + g_4 + g_7 + g_8)] \times [1 - 1 \cdot 5u_n^2]] \quad (36)$$

$$g_6 = \frac{w_6}{(w_2 + w_5 + w_6)} [T_{nf} - (g_0 + g_1 + g_3 + g_4 + g_7 + g_8)] \times [1 - 1 \cdot 5u_n^2]] \quad (36)$$

تعريف برخی از پارامترهای دیگر:

$$\begin{aligned} X^* &= \frac{x}{H} & Y^* &= \frac{y}{H} & u^* &= \frac{u}{u_{in}} & v^* &= \frac{v}{u_{in}} \\ \theta &= \frac{T - T_{in}}{\frac{q''H}{k_f}} & \bar{\tau}_w &= \frac{\int_0^L \mu_{nf} \frac{\partial u}{\partial y} |_{y=0} dx}{L} \\ \bar{C}_f &= \frac{2\bar{\tau}_w}{\rho u_{in}^2} & Br_q &= \frac{\mu_{nf} U_{in}^2}{q'' H_c} & Nu & \\ & & & & = \frac{\int_0^L Nu dx}{L} \\ Nu &= \frac{-k_{nf} \frac{\partial T}{\partial y} |_{y=H_c}}{T_w - T_{in}} \frac{H_c}{K_f} \end{aligned} \quad (37)$$

۳- بررسی استقلال از شبکه و صحبت‌سننجی نتایج

برای شبیه‌سازی مسئله حاضر به روش شبکه بولتزمن، یک کد کامپیوتی به زبان فرتون نوشته شده است. بنابراین نیاز است استقلال از شبکه و درستی کد نوشته شده نشان داده شود و سپس در مورد نتایج بحث صورت گیرد.

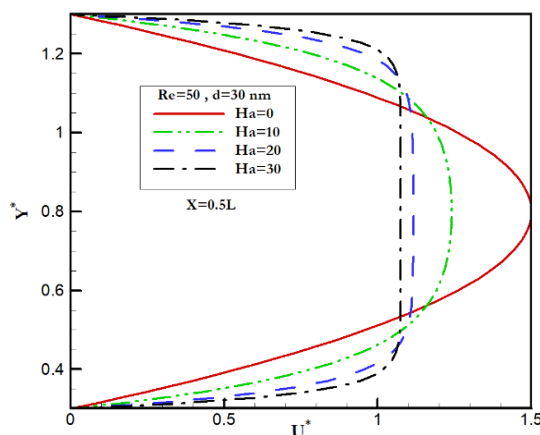
۳-۱- استقلال از شبکه

برای نشان دادن استقلال از شبکه، در جدول ۱ عدد ناسلت متوسط در طول دیواره پایین میکروکانال در عدد هارتمان ۳۰، عدد رینولدز ۱۰۰ و لحاظ کردن تلفات لزجت در تعداد

در این شکل برای دیوار جامد سه جنس مختلف استیل، مس و سیلیکون در نظر گرفته شده است. همان‌طور که از شکل ۴ مشخص است اختلاف عدد ناسلت میانگین در حالت در نظر گرفتن ضخامت دیوار جامد با حالت در نظر نگرفتن آن، $6/6\%$ است که با توجه به این اختلاف محسوس، ضخامت ناحیه جامد در حل مسئله مورد نظر در نظر گرفته شده است.

در شکل ۵ سرعت عرضی بدون بعد در وسط کanal نشان داده شده است. این شکل به خوبی اثر میدان مغناطیسی روی دیواره را در افزایش مقدار سرعت در نواحی نزدیک به دیواره نشان می‌دهد. همچنین طبق شکل ۵، در اعداد هارتمن بالاتر، به علت قوی‌تر شدن نیروی ناشی از میدان مغناطیسی که در خلاف جهت حرکت جریان سیال است (و مانند یک سد در برابر حرکت سیال عمل می‌کند)، پروفیل سرعت مسطح‌تر می‌باشد. همچنین در همه هارتمن‌ها، مقدار بیشینه پروفیل سرعت به علت ثابت ماندن سرعت متوسط، کاهش یافته و این کاهش در عدد هارتمن بیشتر، مشهودتر است.

برای بررسی بیشتر، در شکل ۶ رفتار تنش برشی محلی در طول کanal در اعداد رینولدز ۵۰ و ۱۰۰ برای دو عدد هارتمن ۰ و ۳۰ نشان داده شده است.



شکل (۵): نمودار سرعت عرضی بدون بعد در وسط کanal

طبق شکل ۶ در همه حالتهای در ورودی میکروکanal، تنش برشی بیشترین مقدار را دارد و سپس در ناحیه در حال

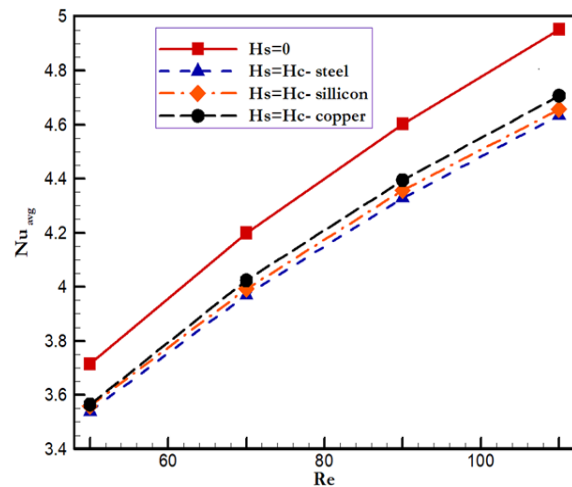
۴- نتایج و بحث

نتایج در کسر حجمی 2% و قطر نانوذرات $50-100$ برای نانوسيال Al_2O_3 -Water در بار گرمایی kW m^2 ، در اعداد هارتمن ۰ تا ۳۰ و اعداد رینولدز ۵۰، ۷۵ و ۱۰۰ بررسی شده است. خواص آب و نانوذره در جدول ۲ موجود است. در این پژوهش برای در نظر گرفتن اثر اتفاق لزج از عدد برینکمن اصلاح شده استفاده شده است. مقدار عدد برینکمن در رینولدز ۱۰۰ و 50 nm به ترتیب $0/24$ و $0/05$ است. همچنین جنس دیوار جامد از سیلیکون با ضریب هدایت حرارتی $148 \frac{\text{W}}{\text{m}\cdot\text{K}}$ [۶] می‌باشد.

جدول (۲): خواص آب [۶] و نانوذره آلومینا [۱]

	ρ (kg m^{-3})	C_p ($\text{J kg}^{-1} \text{K}^{-1}$)	K ($\frac{\text{W}}{\text{m} \cdot \text{k}}$)	μ ($\text{Pa} \cdot \text{s}$)
Water (نیوتونی)	996/26	4179	0/6055	0/0008538
Al_2O_3	3970	779	40	-

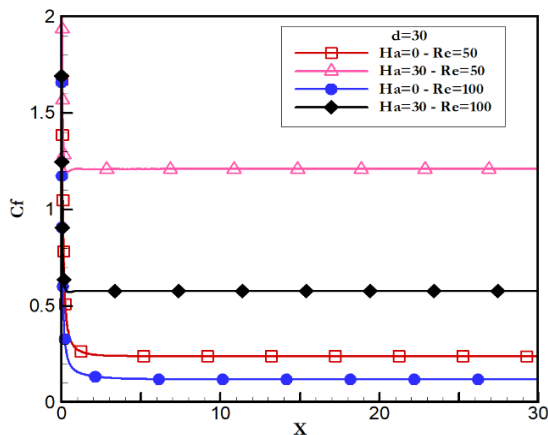
به منظور بررسی تأثیر ضخامت دیواره جامد بر انتقال حرارت در میکروکanal‌ها، عدد ناسلت میانگین در شرایط در نظر گرفتن ضخامت ناحیه جامد و شرایط صرف نظر کردن از آن، در شکل ۴ با هم مقایسه شده‌اند.



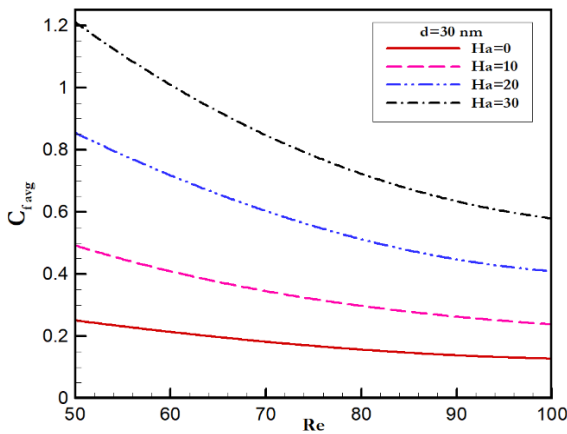
شکل (۴): مقایسه عدد ناسلت میانگین در شرایط در نظر گرفتن ضخامت دیوار جامد و شرایط در نظر نگرفتن آن

دانست. به طور کلی می‌توان نتیجه گرفت افزایش عدد رینولدز تأثیر قابل ملاحظه‌ای روی میزان تنش برشی اعمال شده بر دیواره میکروکانال‌ها دارد.

رفتار تنش برشی محلی، روی ضریب اصطکاک محلی و متوسط تأثیر دارد که در شکل‌های ۷ و ۸ ارائه شده است. طبق شکل‌های ۷ و ۸، به طور کلی افزایش عدد هارتمن منجر به افزایش ضریب اصطکاک می‌شود و افزایش عدد رینولدز باعث کاهش ضریب اصطکاک شده است. از طرفی همان‌طور که از شکل ۷ مشهود است میزان افت ضریب اصطکاک با افزایش عدد رینولدز (در هارتمن ثابت) به مرور افزایش می‌یابد. این مسئله نشان می‌دهد که افزایش عدد رینولدز روی مشخصه هیدرودینامیکی میکروکانال مؤثر است.

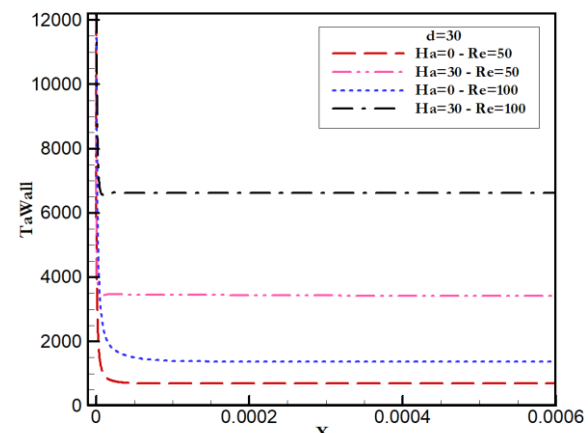


شکل (۷): نمودار ضریب اصطکاک محلی روی دیواره میکروکانال در $d = 30 \text{ nm}$



شکل (۸): نمودار ضریب اصطکاک متوسط روی دیواره میکروکانال در $d = 30 \text{ nm}$

توسعه هیدرودینامیکی، تنش برشی محلی رفتاری کاهشی با طول میکروکانال را نشان می‌دهد تا جایی که با رسیدن به ناحیه توسعه‌یافته، تنش برشی به یک مقدار مشخص ثابت می‌رسد. دلیل این امر، ثابت شدن گرادیان سرعت در این ناحیه است.

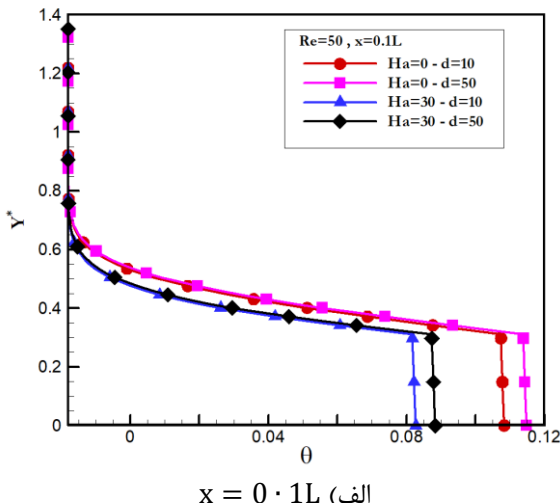
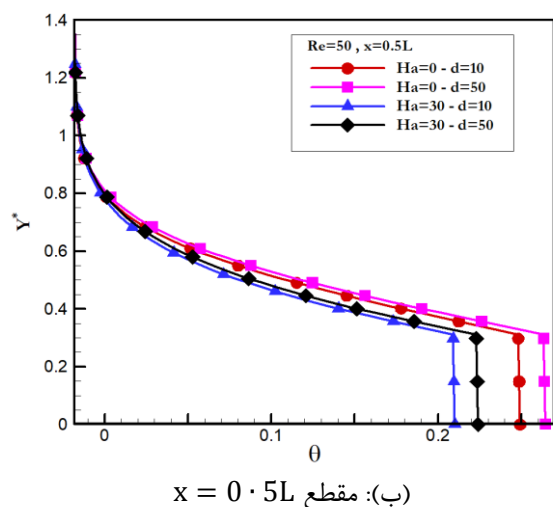
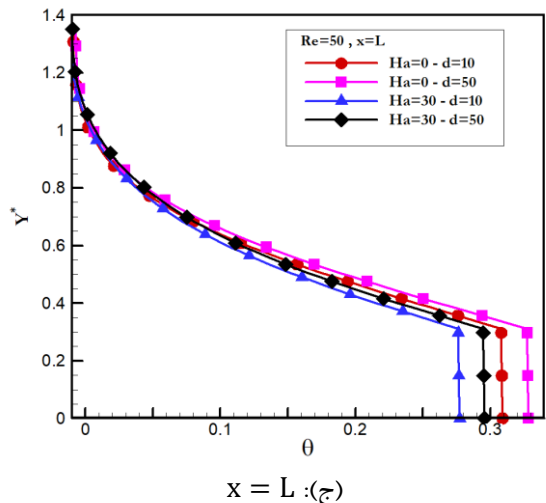


شکل (۹): نمودار تنش برشی محلی روی دیواره میکروکانال در $d = 30 \text{ nm}$

نکته دیگر در خصوص تنش برشی که می‌توان به آن اشاره نمود، افزایش قابل توجه میزان تنش برشی محلی با اعمال میدان مغناطیسی ($\text{Ha}=30$) می‌باشد. افزایش تنش برشی محلی با اعمال میدان مغناطیسی نشان دهنده به وجود آمدن یک به هم ریختگی در لایه مرزی هیدرودینامیکی است. در واقع با اعمال میدان مغناطیسی که منجر به ایجاد یک نیرو در جهت مخالف جریان می‌شود، پروفیل سرعت صاف‌تر شده و در نتیجه میزان تنش برشی افزایش می‌یابد. در همه هارتمن‌ها تنش برشی رفتاری قابل پیش‌بینی و کاهشی دارد. بدین شکل که از مقدار ۱۲۰۰۰ شروع شده و به مقدار نهایی ثابتی می‌رسد. همان‌طور که از شکل ۶ مشهود است در رینولدز ۱۰۰ مقدار نهایی تنش برشی در انتهای کانال برای هارتمن‌های ۰ و ۳۰ به ترتیب برابر با ۱۴۸۳ و ۶۴۰۰ بوده و برای رینولدز ۵۰ برابر با ۷۹۶ و ۳۴۶۴ می‌باشد.

همچنین همان‌طور که از شکل ۶ مشخص است، افزایش عدد رینولدز از ۵۰ به ۱۰۰ منجر به افزایش تنش برشی محلی می‌شود. علت این مسئله را می‌توان نسبت مستقیم تنش برشی با گرادیان سرعت در دیواره میکروکانال

در شکل ۱۰ منحنی دمای بی بعد در مقاطع $0/1$ ، $0/5$ و 1 از طول میکروکanal، در اعداد هارتمن 0 و 30 و در قطرهای 10 و 50 نشان داده شده است.

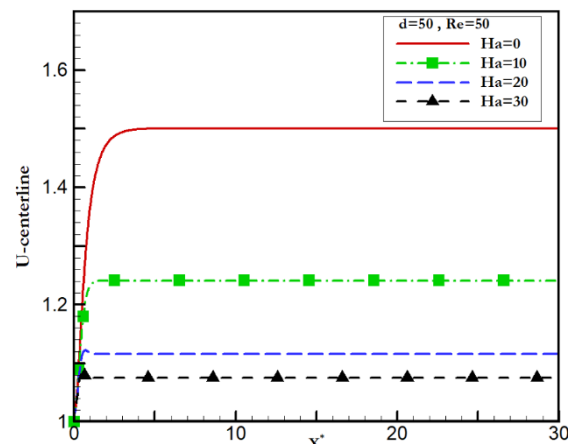
(الف): $x = 0 \cdot 1L$ (ب): مقطع $x = 0 \cdot 5L$ 

شکل(۱۰): نمودار دمای بی بعد در مقطع‌های مختلف

با توجه به این که ضریب اصطکاک بر اساس سرعت مسئله محاسبه می‌شود، افزایش قطر نانوذره با وجود این که روی تنش برشی مؤثر است، روی ضریب اصطکاک اثری نخواهد گذاشت.

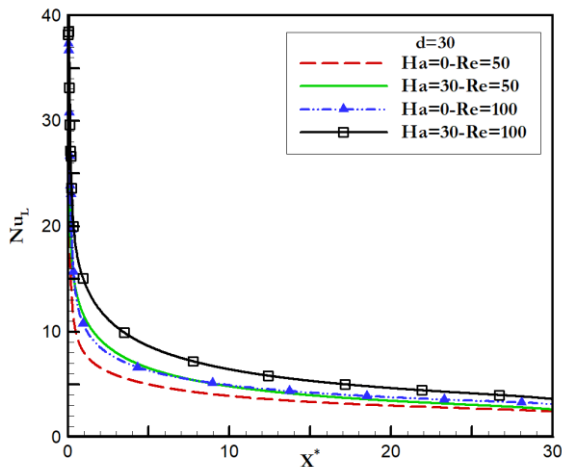
در شکل ۹، سرعت جریان در خط مرکزی میکروکanal در اعداد هارتمن مختلف نشان داده شده است.

اثر لزجت منجر به افزایش سرعت در خط مرکزی و کاهش سرعت در نواحی نزدیک دیواره میکروکanal می‌شود. بدین ترتیب برای هارتمن صفر، نمودار سرعت در خط مرکزی از مقدار بی بعد یک در طول کanal افزایش پیدا کرده و به یک مقدار ثابت می‌رسد. این مقدار ثابت برای عدد هارتمن صفر برابر با $1/5$ است. با توجه به شکل ۹، وجود میدان مغناطیسی در واقع یک عامل دیگر در محدود کردن سرعت در میکروکanal می‌باشد. بدین ترتیب پروفیل سرعت در خط میانی، بعد از رسیدن به یک مقدار ماکریزم، ثابت می‌شود. هر چه مقدار عدد هارتمن بیشتر باشد شدت این نیرو بیشتر بوده و در نتیجه پروفیل سرعت روی خط مرکزی در فاصله کمتری نسبت به ابتدای کanal شروع به کاهش کرده و به مقدار کمتری نیز می‌رسد. همچنین باید ذکر شود که با افزایش عدد هارتمن، اثر نیروی لورنتز روی این رفتار هیدرودینامیکی به مرور کاهش می‌یابد به طوریکه فاصله نمودارهای مربوط به هارتمن 20 و 30 نسبت به فاصله این دو نمودار برای هارتمن‌های 0 و 10 به شکل قابل توجهی کمتر است.



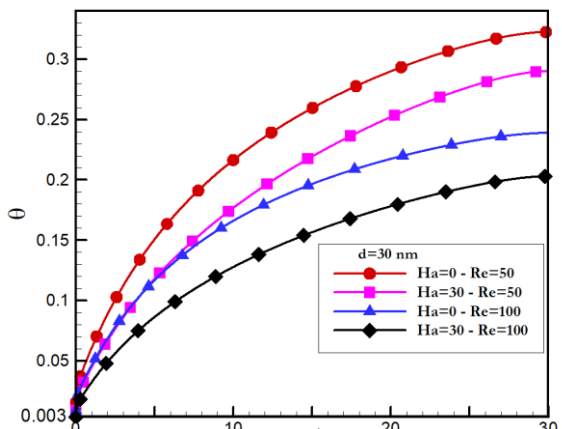
شکل(۹): نمودار سرعت جریان در خط مرکزی میکروکanal

با توجه به شکل ۱۲، در همه حالات‌ها به علت رشد لایه مرزی گرمایی تا رسیدن به ناحیه توسعه‌یافته گرمایی، عدد ناسلت یک روند نزولی دارد. همچنین با افزایش عدد هارتمن که سبب کاهش اختلاف دما بین دیواره و دمای میانگین سیال می‌شود، عدد ناسلت محلی افزایش پیدا می‌کند.



شکل (۱۲): نمودار عدد ناسلت محلی در

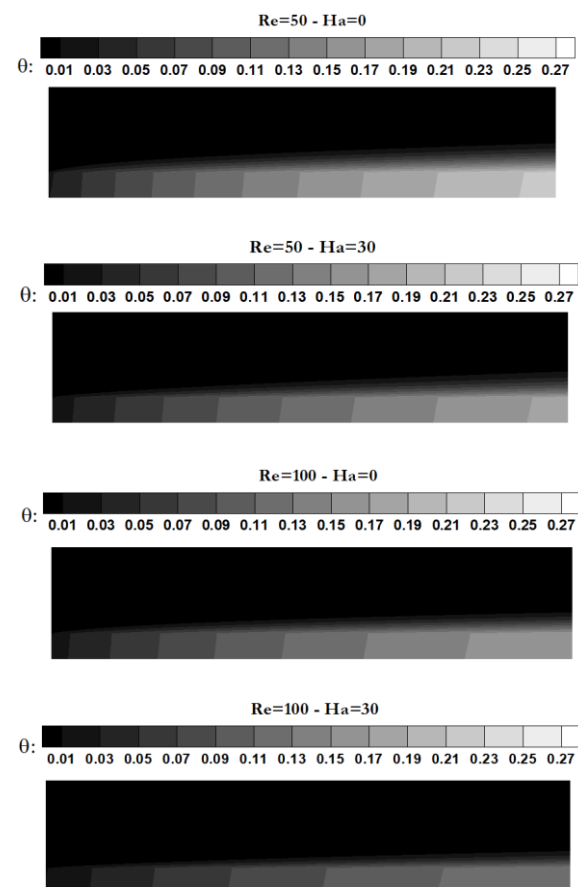
شکل ۱۳ دمای سطح مشترک فیزیکی سیال-جامد را نشان می‌دهد.



شکل (۱۳): نمودار دمای بی بعد سطح مشترک سیال-جامد در $d = 30 \text{ nm}$

همان‌طورکه از شکل ۱۳ مشخص است در همه حالات‌ها با افزایش عدد هارتمن، دمای سطح تماس ناحیه سیال-جامد

شکل ۱۱ توزیع دما بدون بعد را در فاصله $200 \mu\text{m}$ از ورودی میکروکانال نشان می‌دهد.



شکل (۱۱): توزیع دمای بی بعد در مقطع $X = \frac{1}{3}L$

طبق شکل ۱۱ با افزایش عدد رینولدز به دلیل افزایش سرعت سیال، سیال فرصت کافی برای جذب حرارت را نداشته و به همین دلیل در عدد رینولدز بزرگ‌تر میزان افزایش دما کمتر است.

در شکل ۱۲ نمودار تغییرات عدد ناسلت محلی در دو عدد هارتمن ۰ و ۳۰ نشان داده شده است. افزایش عدد هارتمن منجر به افزایش گردایان سرعت و دما در نزدیکی دیواره شده و در نتیجه مقدار عدد ناسلت محلی افزایش می‌یابد. در واقع با افزایش میدان مغناطیسی یکنواخت، خطوط سرعت پهن‌تر شده و به دلیل ثابت بودن دبی در مقطع میکروکانال، سرعت در نزدیکی دیواره افزایش می‌یابد. با تحلیل این شکل می‌توان دریافت که استفاده از میدان مغناطیسی گزینه‌ای جدی برای افزایش انتقال حرارت در میکروکانال‌ها است.

می‌کند. در واقع علت این امر این است که، افزایش عدد هارتمن، باعث افزایش سرعت و افزایش گرادیان سرعت در نزدیکی دیواره شده و در نتیجه چشمۀ حرارتی ناشی از اتلاف لزج (که با گرادیان سرعت رابطه مستقیم دارد) نیز افزایش می‌یابد و مقدار دما در نزدیکی دیواره افزایش پیدا می‌کند و نرخ انتقال حرارت در نزدیک دیواره کاهش می‌یابد. همچنین عدد ناسلت میانگین در حالت در نظر نگرفتن اثرات اتلاف لزج، بهدلیل کمتر بودن گرادیان سرعت در نزدیکی دیواره، بیشتر از حالت اعمال چشمۀ حرارتی ناشی از اتلاف لزج است به طوری که بیشترین مقدار عدد ناسلت، در این حالت، در رینولدز ۱۰۰ و هارتمن ۳۰ مشاهده می‌شود.

جدول ۴ اختلاف نسبی عدد ناسلت میانگین را بین حالت $Re = 50$ ، با عدد ناسلت متوسط در $Re = 100$ در شرایط در نظر نگرفتن اثر اتلاف لزج نشان می‌دهد.

همان‌طور که از جدول ۴ مشهود است با افزایش عدد هارتمن، اختلاف بین عدد ناسلت میانگین در رینولدز ۵۰ با رینولدز ۱۰۰، افزایش می‌یابد. به طوری که بیشترین اختلاف بین عدد ناسلت میانگین، در عدد هارتمن ۳۰ و قطر نانوذره 40 nm دیده می‌شود و مقدار آن $32/857\%$ است. در واقع در عدد رینولدزهای بالا بهدلیل افزایش سرعت و قدرت جابه‌جایی سیال، تغییرات عدد هارتمن بر عدد ناسلت متوسط بیشتر می‌شود.

شکل‌های ۱۴ و ۱۵ عدد ناسلت متوسط را بر حسب عدد هارتمن در قطرهای نانوذره 10 nm و 50 nm در دو عدد رینولدز ۵۰ و ۱۰۰، در شرایط در نظر گرفتن اثر تلفات لزج و صرف‌نظر کردن از آن نشان می‌دهند. در وهله اول مشخص است که با افزایش عدد هارتمن اثر اتلاف لزج افزایش می‌یابد. همچنین همان‌طور که در تمام حالت‌ها مشخص است، در نظر نگرفتن اثر اتلاف لزج بهدلیل کاهش گرادیان سرعت، منجر به بیشتر شدن عدد ناسلت متوسط می‌گردد.

همچنین مشاهده می‌شود که در عدد رینولدز بزرگتر، اثر تلفات لزج به طور محسوسی بیشتر شده است. به طوری که در رینولدز ۱۰۰، برای هر دو قطر در نظر گرفته شده برای نانوذره، استفاده از میدان مغناطیسی متناسب با هارتمن ۲۰ و ۳۰، نه تنها مفید نمی‌باشد بلکه افزایش عدد

کاهش می‌یابد. همچنین در یک عدد هارتمن ثابت، با افزایش عدد رینولدز، دمای سطح مشترک کاهش می‌یابد که مقدار این کاهش با حرکت به سمت نواحی توسعه یافته نسبت به ناحیه در حال توسعه بیشتر هم می‌شود.

جدول ۳ اختلاف نسبی عدد ناسلت میانگین در قطر نانوذره ۳۰، اعداد رینولدز ۵۰، ۷۵ و ۱۰۰ و اعداد هارتمن ۰ تا ۳۰ را برای دو حالت در نظر گرفتن اثر اتلاف لزج و در نظر نگرفتن اثر این چشمۀ نشان می‌دهد.

همان‌طور که از جدول ۳ مشخص است با افزایش عدد رینولدز در هر دو حالت، بهدلیل افزایش سرعت سیال، عدد ناسلت افزایش می‌یابد.

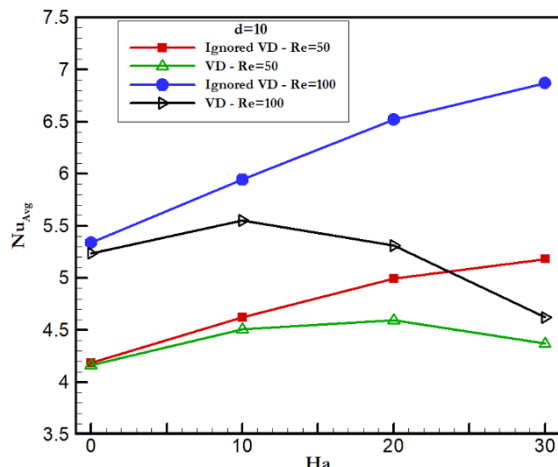
جدول (۳): اختلاف نسبی عدد ناسلت متوسط بین دو حالت اعمال چشمۀ حرارتی ناشی از اتلاف لزج و صرف‌نظر کردن از آن (%)

$$R = \left| \frac{\overline{Nu}_{Vd} - \overline{Nu}_{ignored\ Vd}}{\overline{Nu}_{Vd}} \right| \times 100$$

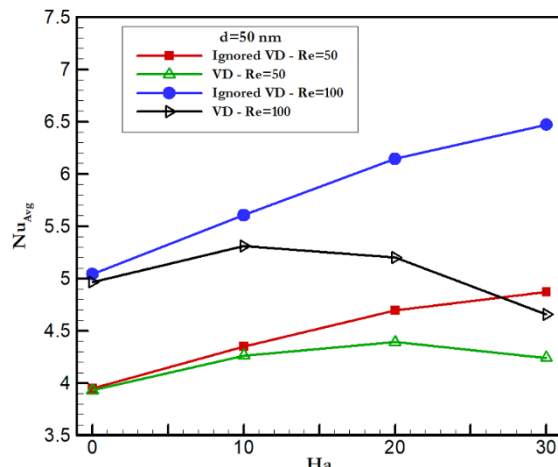
Re	Ha	\overline{Nu}_{Vd}	$\overline{Nu}_{ignored\ Vd}$	R(%)
50	0	3/99	4	0/25
	10	4/32	4/41	2/08
	20	4/44	4/77	7/43
	30	4/27	4/95	15/92
75	0	4/58	4/62	0/87
	10	4/94	5/13	3/84
	20	4/95	5/59	12/92
	30	4/59	5/86	27/66
100	0	5/03	5/11	1/59
	10	5/37	5/69	5/95
	20	5/23	6/24	19/31
	30	4/65	6/57	41/29

همچنین در حالت در نظر نگرفتن اثر چشمۀ حرارتی ناشی از اتلاف لزج با افزایش عدد هارتمن در همه حالت‌ها عدد ناسلت افزایش می‌یابد در حالی که با اعمال کردن چشمۀ حرارتی اتلاف لزج در رینولدزهای ۵۰ و ۷۵ فقط تا هارتمن ۲۰ و در رینولدز ۱۰۰ فقط تا هارتمن ۱۰ عدد ناسلت افزایش می‌یابد و بعد از آن عدد ناسلت روند نزولی پیدا

همچنین با مقایسه شکل‌ها در قطر ۱۰ با ۵۰ مشاهد می‌شود که بیشترین مقدار عدد ناسلت در رینولدز ۱۰۰، هارتمن ۳۰، قطر ۱۰ nm و در حالت صرف‌نظر کردن از تلفات لرج رخ داده است.



شکل (۱۴): نمودار عدد ناسلت متوسط در $d = 10 \text{ nm}$



شکل (۱۵): نمودار عدد ناسلت متوسط در $d = 50 \text{ nm}$

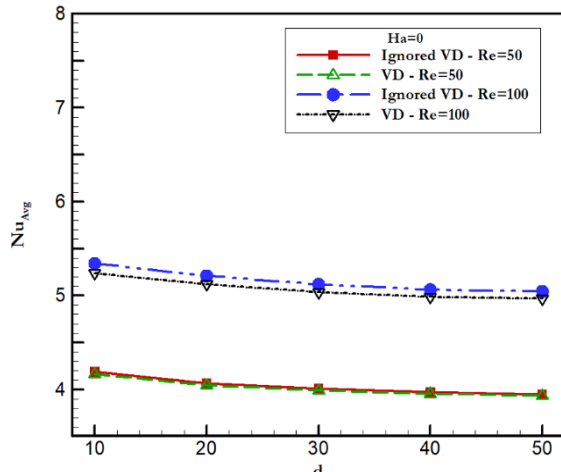
شکل‌های ۱۶ و ۱۷ نمودار عدد ناسلت متوسط با افزایش قطر نانوذره را در دو حالت اعمال اثر اتلاف لرج و در نظر نگرفتن اثر این چشمی حرارتی نشان می‌دهند. طبق شکل‌های ۱۶ و ۱۷، در همه حالات بجز یک حالت، با افزایش قطر نانوذرات، به علت کاهش سطح انتقال حرارت نانوذرات، عدد ناسلت کاهش می‌یابد و این کاهش، در قطرهای کوچکتر محسوس‌تر است. همچنین این تغییرات در رینولدزهای بالاتر بیشتر است. از طرفی همان‌طور که از شکل ۱۶ مشهود است، در هر قطر، با افزایش عدد رینولدز از

هارتمن از ۱۰ تا ۳۰ عدد ناسلت را کاهش می‌دهد. اما در رینولدز ۵۰، تا عدد هارتمن ۲۰ عدد ناسلت افزایش می‌یابد و بعد از آن روند نزولی دارد. زیرا افزایش عدد هارتمن از یک طرف منجر به تقویت ساز و کار انتقال حرارت جابه‌جایی می‌شود و از طرف دیگر باعث افزایش اثر اتلاف لرج می‌شود و این دو عامل در تقابل با یکدیگر هستند. بنابراین با توجه به این که کدام اثرات در اعداد هارتمن مختلف و در رینولدزهای مختلف غالب است، منجر به پدیده‌های ذکر شده می‌شود.

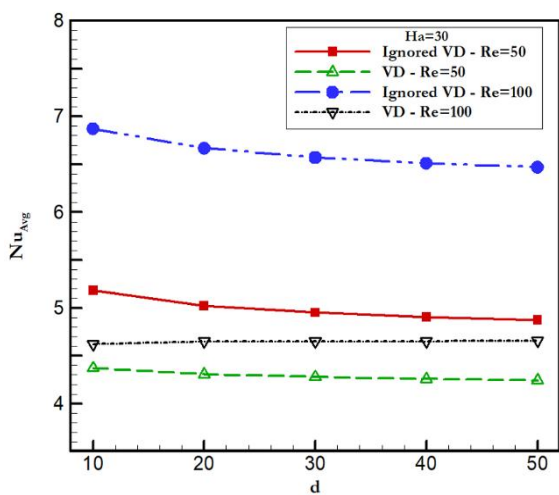
جدول (۴): اختلاف نسبی عدد ناسلت متوسط در (%) $\text{Re} = 100$ با ناسلت متوسط در $\text{Re} = 50$

Ha	$d_p(\text{nm})$	اختلاف نسبی ناسلت متوسط در (%) $\text{Re} = 100$ با ناسلت متوسط در $\text{Re} = 50$
•	10	۲۷/۵
	۲۰	۲۸/۳۲
	۳۰	۲۷/۷۵
	۴۰	۲۷/۴۵
	۵۰	۲۷/۹۱
10	10	28/57
	20	30/58
	30	30/15
	40	30/43
	50	27/73
20	10	30/82
	20	30/78
	30	30/81
	40	30/93
	50	30/91
30	10	32/62
	20	32/76
	30	32/72
	40	32/857
	50	32/854

در شکل‌های ۱۸ و ۱۹ تغییرات عدد ناسلت متوسط بر حسب قطر نانوذره، روی دیواره میکروکanal برای اعداد هارتمن ۰ و ۳۰ نشان داده شده است.



شکل (۱۸): نمودار عدد ناسلت متوسط بر حسب قطر نانوذره در $Ha = 0$

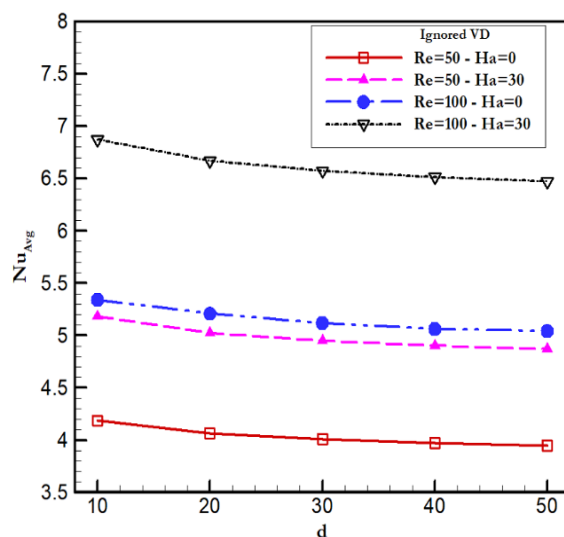


شکل (۱۹): نمودار عدد ناسلت متوسط بر حسب قطر نانوذره در $Ha = 30$

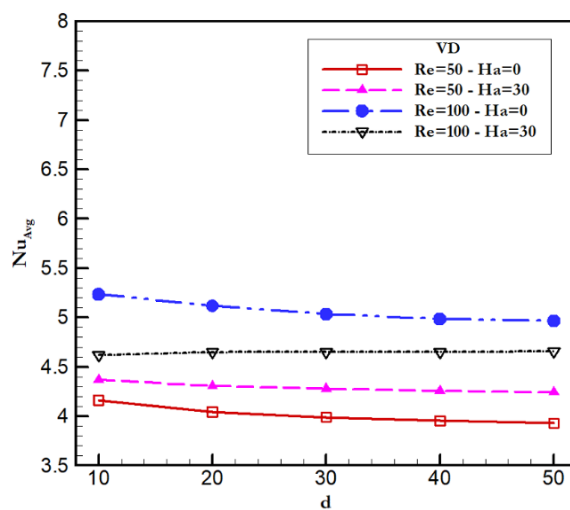
طبق شکل‌های ۱۸ و ۱۹، در عدد هارتمن ۳۰، بهدلیل بیشتر بودن سرعت در نزدیکی دیواره میکروکanal نسبت به هارتمن صفر، عدد ناسلت میانگین بیشتر از عدد ناسلت میانگین در عدد هارتمن صفر می‌باشد. همچنین اختلاف عدد ناسلت میانگین، در دو حالت صرف‌نظر کردن از اثر اتلاف لزج و در نظر گرفتن آن، در هارتمن ۳۰ بیشتر از هارتمن صفر است. همچنین طبق این شکل‌ها در یک عدد رینولدز ثابت، با افزایش قطر نانوذرات اختلاف بین عدد

۵۰ به ۱۰۰، در همه هارتمن‌های مورد مطالعه، عدد ناسلت متوسط افزایش می‌یابد و این افزایش در رینولدز ۱۰۰ بیشتر از رینولدز ۵۰ است.

طبق شکل ۱۶، در حالت در نظر نگرفتن اثر اتلاف لزج، عدد ناسلت مقدار بیشتری دارد، بهطوری که بیشترین مقدار عدد ناسلت در هارتمن ۳۰ و رینولدز ۱۰۰ در این حالت، دیده می‌شود. نکته دیگری که می‌توان به آن اشاره نمود این است که افزایش عدد ناسلت با عدد هارتمن در حالت در نظر نگرفتن اثر اتلاف لزج محسوس‌تر از حالت اعمال چشمی حرارتی ناشی از اتلاف لزج است.



شکل (۱۶): نمودار عدد ناسلت متوسط بر حسب قطر نانوذره در حالت در نظر نگرفتن اثر اتلاف لزج



شکل (۱۷): نمودار عدد ناسلت متوسط بر حسب قطر نانوذره در حالت در نظر گرفتن اثر اتلاف لزج

عدد ناسلت در رينولذ ۱۰۰ و هارتمن ۳۰ مشاهده می‌شود.

- در شرایط در نظر نگرفتن چشمۀ حرارتی ناشی از اتلاف لزجت، با افزایش شدت میدان مغناطیسی، عدد ناسلت افزایش می‌یابد اما در شرایط اعمال چشمۀ حرارتی اتلاف لزجت، در رینولذ ۵۰ و ۷۵ فقط تا هارتمن ۲۰ و در رینولذ ۱۰۰، فقط تا هارتمن ۱۰، عدد ناسلت میانگین افزایش می‌یابد. همچنین افزایش عدد ناسلت میانگین با عدد هارتمن در حالت در نظر نگرفتن اثر اتلاف لزج محسوس‌تر از حالتی است که این چشمۀ حرارتی اعمال شود.
- افزایش قطر نانوذره تاثیری بر پارامترهای جریان مثل سرعت بی‌بعد و ضریب اصطکاک ندارد.

۶- مراجع

1. Akbarinia, A., Abdolzadeh, M. and Laur, R. "Critical Investigation of Heat Transfer Enhancement using Nanofluids in Microchannels with Slip and Non-slip Flow Regimes", *Appl. Therm. Eng.*, Vol. 31, no. 4, pp. 556-565, 2011.
2. Wang, J., Wang, M. and Li, Z. "A Lattice Boltzmann Algorithm for Fluid-Solid Conjugate Heat Transfer", *Appl. Therm. Eng.*, Vol. 46, no. 3, pp. 228-234, 2007.
3. Toh, K.C., Chen, X.Y. and Chai, J.C. "Numerical Computation of Fluid Flow and Heat Transfer in Microchannels", *Int. J. Heat Mass TRAN*, Vol. 45, no. 26, pp. 5133-5141, 2002.
4. Ramiar, A. and Ranjbar, A.A. "The Effect of Viscous Dissipation and Variable Properties on Nanofluids Flow in Two Dimensional Microchannels", *Int. J. Engineering-Transactions A*, Vol. 24, no. 2, pp. 131-142, 2011.
5. Kandlikar, S. G., Garimella, S., Li, D., Colin, S. and King, M. R. "Heat Transfer and Fluid Flow in Minichannels and Microchannels", second ed, Elsevier, UK, 2014.
6. Tuckerman, D. B. and Pease, R. F. W. "High Performance Heat Sinking for VLSI", *IEEE*

ناسلت در شرایط در نظر گرفتن اثر چشمۀ اتلاف لزج و شرایط صرف‌نظر کردن از آن کاهش می‌یابد. به عنوان مثال در رینولذ ۱۰۰، هارتمن ۳۰ و قطر ۱۰ این اختلاف ۴۸٪ و در قطر ۵۰، ۳۹٪ می‌باشد. با افزایش قطر نانوذرات به دلیل کمتر شدن اثر حرکات تصادفی ذرات بر انتقال حرارت، شبیه‌سازی عدد ناسلت کاهش پیدا می‌کند.

۵- نتیجه‌گیری

در این مقاله، به بررسی اثر اتلاف لزج بر انتقال حرارت مزدوج نانوسيال آب-آلومینا، در کسر حجمی ثابت ۲٪ و قطر نانوذرات ۱۰-۵۰ nm در یک ميكروکانال تحت تأثیر میدان مغناطیسی یکنواخت در شرط مرزی گرمایی شار حرارتی ثابت، با استفاده از روش شبکه بولتزمن تراکمن‌پذیر پرداخته شد. مهم‌ترین نتایج به دست آمده از کار حاضر در زیر آورده شده است:

• در این پژوهش، در نظر نگرفتن اثر چشمۀ حرارتی ناشی از اتلاف لزج در عدد هارتمن ۳۰، به ترتیب در رینولذ‌های ۵۰ و ۱۰۰، منجر به بیشینه خطای ۱۵٪ و ۳۲٪، در قطر نانوذره ۱۰، و ۱۲٪ و ۲۸٪ در قطر نانوذره ۵۰، در تخمین عدد ناسلت متوسط می‌شود.

• در رینولذ ۱۰۰، در صورت لحاظ کردن اثر اتلاف لزج، استفاده از میدان مغناطیسی متناسب با عدد هارتمن ۱۰، به ترتیب در قطرهای نانوذره ۱۰ و ۵۰ نانومتر، عدد ناسلت را به میزان ۷۶٪ و ۶٪ افزایش می‌دهد. اما در رینولذ ۵۰، استفاده از میدان مغناطیسی متناسب با عدد هارتمن ۱۰، به ترتیب در قطرهای نانوذره ۱۰ nm و ۵۰ nm، منجر به افزایش عدد ناسلت میانگین به میزان ۷٪ و ۸٪ می‌شود.

• عدد ناسلت میانگین در حالت در نظر نگرفتن اثر اتلاف لزج در همه حالت‌ها بیشتر از حالت اعمال ترم اتلاف لزج است. به طوری که بیشترین مقدار

- Water Nanofluid with Variable Properties”, *Curr. Nanosci.*, Vol. 13, no. 5, pp. 449-461, 2017.
16. Esfe, M.H., Abbasian Arani, A.A., Aghaie, A. and Wongwises, S. “Mixed Convection Flow and Heat Transfer in an Up-Driven, Inclined, Square Enclosure Subjected to DWCNT-Water Nanofluid Containing Three Circular Heat Sources”, *Curr. Nanosci.*, Vol. 13, no. 3, pp. 311-323, 2017.
 17. Salari, M., Malekshah, E.H. and Esfe, M.H. “Three Dimensional Simulation of Natural Convection and Entropy Generation in an Air and MWCNT/Water Nanofluid Filled Cuboid as Two Immiscible Fluids with Emphasis on the Nanofluid Height Ratio's Effects”, *J. Mol. Liq.*, Vol. 227, pp. 223-233, 2017.
 18. Esfe, M.H., Nadooshan, A.A., Arshi, A. and Alirezaie, A. “Convective Heat Transfer and Pressure Drop of Aqua Based TiO₂ Nanofluids at Different Diameters of Nanoparticles: Data Analysis and Modeling with Artificial Neural Network”, *Physica. E.*, Vol. 97, pp. 155-161, 2018.
 19. Kalteh, M., Abbassi, A., Saffar-Avval, M. and Harting, J. “Eulerian–Eulerian Two-Phase Numerical Simulation of Nanofluid Laminar Forced Convection in a Microchannel”, *Int. J. Heat. Fluid Fl.*, Vol. 32, no. 1, pp. 107-116, 2011.
 20. Kalteh, M. “Investigating the Effect of Various Nanoparticle and Base Liquid Types on the Nanofluids Heat and Fluid Flow in a Microchannel”, *Appl. Math. Model.*, Vol. 37, no. 18-19, pp. 8600-8609, 2013.
 21. Kalteh, M., Javaherdeh, K. and Azarbarzin, T. “Numerical Solution of Nanofluid Mixed Convection Heat Transfer in a Lid-Driven Square Cavity with a Triangular Heat Source”, *Powder Technol.*, Vol. 253, pp. 780-788, 2014.
 22. Fani, B., Kalteh, M. and Abbassi, A. “Investigating the Effect of Brownian Motion and Viscous Dissipation on the Nanofluid Heat Transfer in a Trapezoidal Microchannel Heat Sink”, *Advanced Powder Technol.*, Vol. 26, no. 1, pp. 83-90, 2015.
 23. Shahriari, A., Javaran, E. J. and Rahnama, M. “Effect of Nanoparticles Brownian Motion and Uniform Sinusoidal Roughness Elements on Natural Convection in an Enclosure”, *J. Therm. Anal. Calorim.*, Vol. 131, no. 3, pp. 2865-2884, 2018.
 7. Amani, j. and Arani, A. A. A. “Experimental Study on Heat Transfer and Pressure Drop of TiO₂-Water Nanofluid” *Amirkabir Journal of Science and Research (Mechanical Engineering)*, Vol. 46, no. 1, pp. 79-80, 2014. (in Persian).
 8. Heris, S., Edalati, Z. and Noie, S. H. “The Comparison between Al₂O₃/Water and CuO/Water Nanofluids Experimental Heat Transfer Performance inside Triangular Duct”, *Amirkabir Journal of Science and Research (Mechanical Engineering)*, Vol. 47, no. 1, pp. 91-99, 2015, (in Persian).
 9. Esfe, M. H., Ghadi, A. Z. and Noroozi, M. J. “Numerical Simulation of Mixed Convection within Nanofluid-Filled Cavities with Two Adjacent Moving Walls”, *T. Can. Soc. Mech. Eng.*, Voi. 37, no. 4, pp. 1073-1089, 2013.
 10. Esfe, M. H., Akbari, M. and Karimipour, A. “Mixed Convection in a Lid-Driven Cavity with an inside Hot Obstacle Filled by an Al₂O₃-Water Nanofluid”, *J. Appl. Mech. Tech. Phy.*, Vol. 56, no. 3, pp. 443-453, 2015.
 11. Sarafraz, M. M., Nikkhah, V., Nakhjavani, M. and Arya, A. “Thermal Performance of a Heat Sink Microchannel Working with Biologically Produced Silver-Water Nanofluid: Experimental Assessment”, *J. Therm. Anal. Calorim.*, Vol. 131, no. 3, pp. 2865-2884, 2018.
 12. Esfe, M.H., Arani, A.A.A., Niroumand, A.H., Yan, W.M., and Karimipour, A. “Mixed Convection Heat Transfer from Surface-Mounted Block Heat Sources in a Horizontal Channel with Nanofluids”, *Int. J. Heat Mass. Tran.*, Vol. 89, pp. 783-791, 2015.
 13. Esfe, M.H., Arani, A.A., Azizi, T., Mousavi, S.H., and Wongwises, S. “Numerical Study of Laminar Forced Convection of Al₂O₃-Water Nanofluids between Two Parallel Plates”, *J. Mech. Sci. Technol.*, Vol. 31, no. 2, pp. 785-796, 2017.
 14. Fereidoon, A., Saedodin, S., Esfe, M.H. and Noroozi, M.J. “Evaluation of Mixed Convection in Inclined Square Lid-Driven Cavity Filled with Al₂O₃/Water Nanofluid”, *Eng. Appl. Comp. Fluid*, Vol. 7, no. 1, pp. 55-65, 2013.
 15. Esfe, M.H., Abbasian Arani, A.A., Rezaee, M., Yazdeli, R.D. and Wongwises, S. “An Inspection of Viscosity Models for Numerical Simulation of Natural Convection of Al₂O₃-

- Integral Transforms”, Int. Commun. Heat Mass Transfer, Vol. 39, no. 3, pp. 355-362, 2012.
34. Cole, K.D. and Çetin, B. “The Effect of Axial Conduction on Heat Transfer in a Liquid Microchannel Flow”, Int. J. Heat Mass Tran., Vol. 54, no. 11-12, pp. 2542-2549, 2011.
 35. Azad, A.K., Rahman, M.M. and Öztop, H.F. “Effects of Joule Heating on Magnetic Field inside a Channel along with a Cavity”, Procedia Engineer., Vol. 90, pp. 389-396, 2014.
 36. Yang, Y.T. and Lai, F.H. “Lattice Boltzmann Simulation of Heat Transfer and Fluid Flow in a Microchannel with Nanofluids”, J. Heat mass transfer, Vol. 47, no. 10, pp. 1229-1240, 2011.
 37. Tretheway, D.C. and Meinhart, C.D. “Apparent Fluid Slip at Hydrophobic Microchannel Walls”, Phys. Fluids, Vol. 14, no. 3, pp. 9-12, 2002.
 38. Ngoma, G.D. and Erchiqui, F. “Heat Flux and Slip Effects on Liquid Flow in a Microchannel”, Int. J. Thermal Sciences, Vol. 46, no. 11, pp. 1076-1083, 2011.
 39. Mehrizi, A.A., Farhadi, M., Sedighi, K. and Delavar, M.A. “Effect of Fin Position and Porosity on Heat Transfer Improvement in a Plate Porous Media Heat Exchanger”, J. Taiwan. Inst. Chem. E, Vol. 44, no. 3, pp. 420-431, 2013.
 40. Afrouzi, H.H., Sedighi, K., Farhadi, M. and Fattahi, E. “Dispersion and Deposition of Microparticles over Two Square Obstacles in a Channel via Hybrid Lattice Boltzmann Method and Discrete Phase Model”, Int. J. Eng., Vol. 25, no. 3, pp. 266-257, 2012.
 41. Afrouzi, H.H., Farhadi, M. and Mehrizi, A.A. “Numerical Simulation of Microparticles Transport in a Concentric Annulus by Lattice Boltzmann Method”, Adv. Powder Technol., Vol. 24, no. 3, pp. 575-584, 2013.
 42. Afrouzi, H.H., Sedighi, K., Farhadi, M. and Moshfegh, A. “Lattice Boltzmann Analysis of Microparticles Transport in Pulsating Obstructed Channel Flow”, Computers and Mathematics with Applications, Vol. 70, no. 5, pp. 1136-1151, 2015.
 43. Pourmirzaagha, H., Afrouzi, H.H. and Mehrizi, A.A. “Nanoparticles Transport in a Concentric Annulus: a Lattice Boltzmann Approach”, J. Theor. App. Mech-Pol., Vol. 53, no. 3, pp. 683-695, 2015.
 44. Mehrizi, A.A., Farhadi, M., Afrozzi, H.H., Sedighi, K. and Darz, A.R. “Mixed Convection Heat Transfer in a Ventilated Cavity with Hot Obstacle: Effect of Nanofluid and Outlet Port
 24. Sheikholeslami, M. and Rokni, H. B. “Simulation of Nanofluid Heat Transfer in Presence of Magnetic Field: A Review”, Int. J. Heat Mass TRAN, Vol. 115(Part B), pp. 1203-1233, 2017.
 25. M'hamed, B., Sidik, N.A.C., Yazid, M.N.A.W.M., Mamat, R., Najafi, G. and Kefayati, G.H.R. “A Review on Why Researchers Apply External Magnetic Field on Nanofluids”, Int. Commun. Heat. Mass. Vol. 78, pp. 60-67, 2016.
 26. Sawada, T., Tanahashi, T. and Ando, T. “Two-Dimensional Flow of Magnetic Fluid between Two Parallel Plates”, J. Magn. Magn. Mater., Vol. 65, no. 2-3, pp. 327-329, 1987.
 27. Kalteh, M. and Abedinzadeh, S.S. “Numerical Investigation of MHD Nanofluid Forced Convection in a Microchannel using Lattice Boltzmann Method”, Iranian Journal of Science and Technology, Transactions of Mechanical Engineering, Vol. 42, no. 1, pp. 23-34, 2018, (in Persian).
 28. Duwairi, H. and Abdullah, M. “Thermal and Flow Analysis of a Magnetohydrodynamic Micropump”, Microsyst. Technol., Vol. 13, no. 1, pp. 33-39, 2007.
 29. Aminossadati, S.M., Raisi, A. and Ghasemi, B. “Effects of Magnetic Field on Nanofluid Forced Convection in a Partially Heated Microchannel”, Int. J. Nonlin. Mech., Vol. 46, no. 10, pp. 1373-1382, 2011.
 30. Agheai, A., Khorasanizadeh, H. and Sheikhzadeh, GhA. “Investigation of Laminar and Turbulent Natural Convection of Nanofluid Trapezoidal Enclosure under the Influence of Magnetic Field”, Aerospace Mechanics Journal. Vol. 15, no. 2, pp. 53-66, 2019, (in persian).
 31. Jamalabadi, M. A. and Park, J.H. “Thermal Radiation, Joule Heating, and Viscous Dissipation Effects on MHD Forced Convection Flow with Uniform Surface Temperature”, Open Journal of Fluid Dynamics, Vol. 4, no. 2, p. 125, 2014.
 32. Khandekar, S. and Moharana, M.K. “Axial Back Conduction through Channel Walls during Internal Convective Microchannel Flows”, Nanoscale and Microscale Phenomena: Fundamentals and Applications. New Delhi, India, pp. 335-369, 2015.
 33. Knupp, D.C., Naveira-Cotta, C.P. and Cotta, R.M. “Theoretical Analysis of Conjugated Heat Transfer with a Single Domain Formulation and

- Magnetohydrodynamic (MHD) Micropump”, Biomedical Microdevices, Vol. 13, no. 1, pp. 147-157, 2011.
55. Morini, G.L. “Viscous Heating in Liquid Flows in Microchannels”, Int. J. Heat Mass Tran., Vol. 48, no. 17, pp. 3637-3647, 2005.
56. Hung, Y.M. “Analytical Study on Forced Convection of Nanofluids with Viscous Dissipation in Microchannels”, Heat Transfer Engineering, Vol. 31, no. 14, pp. 1184-1192, 2010.
57. Kalteh, M., Abbassi, A., Saffar-Avval, M., Frijns, A., Darhuber, A. and Harting, J. “Experimental and Numerical Investigation of Nanofluid Forced Convection inside a Wide Microchannel Heat Sink”, Appl. Therm. Eng., Vol. 36, pp. 260-268, 2012.
58. Corcione, M. “Heat Transfer Features of Buoyancy-Driven Nanofluids inside Rectangular Enclosures Differentially Heated at the Sidewalls. Int. J. Thermal Sciences, Vol. 49, no. 9, pp. 1536-1546, 2010.
59. Chon, C.H., Kihm, K.D., Lee, S.P. and Choi, S.U. “Empirical Correlation Finding the Role of Temperature and Particle Size for Nanofluid (Al_2O_3) Thermal Conductivity Enhancement”, Appl. Phys. Lett., Vol. 87, no. 15, pp. 107-153, 2005.
60. Guo, Z., Zheng, C. and Shi, B. “Discrete Lattice Effects on the Forcing Term in the Lattice Boltzmann Method”, Phys. Rev. E., Vol. 65, no. 4, pp. 556-565, 2002.
61. Guo, Z., Zhao, T.S. and Shi, Y. “Preconditioned Lattice Boltzmann Method for Steady Flows”, Phys. Rev. E., Vol. 70, no. 6, pp. 66-706, 2004.
62. Karimipour, A., Taghipour, A. and Malvandi, A. “Developing the Laminar MHD Forced Convection Flow of FMWNT/Water Carbon Nanotubes in a Microchannel Imposed the Uniform Heat Flux”, J. Magn. Magn. Mater., Vol. 419, pp. 420-428, 2016.
63. Izquierdo, S. and Fueyo, N. “Optimal Preconditioning of Lattice Boltzmann Methods”, J. Comput. Phys., Vol. 228, no. 17, pp. 6479-95, 2009.
64. Bin, D., Bao-Chang, S. and Guang-Chao, W. “A New Lattice Bhatnagar–Gross–Krook Model for the Convection–Diffusion Equation with a Source Term”, Chinese Phys. Lett., Vol. 22, no. 2, pp. 267-270, 2005.
65. Zarita, R. and Hachemi M. “Microchannel Fluid Flow and Heat Transfer by Lattice Boltzmann Location”, Int. Commun. Heat Mass Transfer, Vol. 39, no. 7, pp. 1000-1008, 2012.
45. Tilehboni, S.M., Fattah, E., Afrouzi, H.H. and Farhadi, M. “Numerical Simulation of Droplet Detachment from Solid Walls under Gravity Force using Lattice Boltzmann Method”, J. Molecular Liquids, Vol. 212, pp. 544-556, 2015.
46. Arumuga Perumal, D. and Dass, A.K. “A Review on the Development of Lattice Boltzmann Computation of Macro Fluid Flows and Heat Transfer”, Alexandria Engineering Journal, Vol. 54, no. 4, pp. 955-971, 2015.
47. Karimipour, A., Nezhad, A.H., D’Orazio, A., Esfe, M.H., Safaei, M.R. and Shirani, E. “Simulation of Copper–Water Nanofluid in a Microchannel in Slip Flow Regime using the Lattice Boltzmann Method”, Eur. J. Mech. B-Fluid, Vol. 49, pp. 89-99, 2015.
48. Karimipour, A., Esfe, M.H., Safaei, M.R., Semiroomi, D.T., Jafari, S. and Kazi, S.N. “Mixed Convection of Copper–Water Nanofluid in a Shallow Inclined Lid-Driven Cavity using the Lattice Boltzmann Method”, Physica A., Vol. 402, pp. 150-168, 2014.
49. Meng, F., Wang, M. and Li, Z. “Lattice Boltzmann Simulations of Conjugate Heat Transfer in High-Frequency Oscillating Flows”, Int. J. heat and fluid flow, Vol. 29, no. 4, pp. 1203-1210, 2008.
50. Seddiq, M., Maerefat, M. and Mirzaei, M. “Modeling of Heat Transfer at the Fluid–Solid Interface by Lattice Boltzmann Method”, Int. J. Thermal Sciences, Vol. 75, pp. 28-355, 2014.
51. Hu, Y., Li, D., Shu, S. and Niu, X. “Simulation of Steady Fluid–Solid Conjugate Heat Transfer Problems via Immersed Boundary Lattice Boltzmann Method”, Computers and Mathematics with Applications, Vol. 70, no. 9, pp. 2227-2237, 2015.
52. Le, G., Oulaid, O. and Zhang, J. “Counter Extrapolation Method for Conjugate Interfaces in Computational Heat and Mass Transfer”, Phys. Rev. E., Vol. 91, no. 3, pp. 556-565, 2011.
53. Mozafari Shamsi ,M., Sefid ,M. and Imani ,Gh. “New Formulation for the Simulation of the Conjugate Heat Transfer at the Curved Interfaces Based on the Ghost Fluid Lattice Boltzmann Method”, Numer. Heat. Transf. Part B, Vol. 70, no. 6, pp. 559-576, 2016.
54. Chatterjee, D. and Amiroudine, S. “Lattice Boltzmann Simulation of Thermofluidic Transport Phenomena in a DC

- Method”, In: 4th Micro and Nano Flows Conf. UCL, London, UK, 2014.
66. D’Orazio, A. and Succi, S. “Boundary Conditions for Thermal Lattice Boltzmann Simulations”, Int. Conf. Computational Science. Springer, Berlin, Heidelberg, p. 977–986, 2003.
 67. Lalami, A.A. and Kalteh, M. “Lattice Boltzmann Simulation of Nanofluid Conjugate Heat Transfer in a Wide Microchannel: Effect of Temperature Jump, Axial Conduction and Viscous Dissipation”, Meccanica, Vol. 54, no. 1-2, pp. 135-153, 2019.
 68. Bejan, A. “Convection Heat Transfer”, John wiley and sons, Inc, New York, 2013.

